

BAB V

HASIL DAN PEMBAHASAN PENELITIAN

Pengujian yang telah dilakukan di Laboratorium Mekanika Tanah, Fakultas Teknik Sipil dan Perencanaan, Universitas Islam Indonesia, memperoleh hasil yang meliputi sifat-sifat fisik tanah dan mekanik tanah.

Sifat fisik tanah meliputi kadar air tanah (w), berat volume tanah (γ), berat volume kering (γ_k), berat jenis tanah (G_s) dan batas-batas Atterberg, sedangkan sifat mekanik tanah meliputi parameter kuat geser tanah yaitu sudut gesek dalam tanah (ϕ) dan kohesi tanah (c). Untuk mendapatkan sifat mekanik tanah lempung dilakukan pengujian di laboratorium, yaitu Uji Pemadatan Proctor Standar, Uji Triaksial Takterkonsolidasi Takterdrainasi (*Unconsolidated Undrained*) dan Uji Tekan Bebas (*Unconfined Compression Test*).

5.1. Pengujian Tanah Asli

5.1.1. Pengujian Sifat fisik tanah

1. Pengujian Kadar Air Tanah

Tujuan pengujian ini adalah untuk mengetahui besarnya kadar air yang terkandung dalam tanah.

Untuk pengujian kadar air tanah lempung Bangsri, Jepara yang dilakukan di Laboratorium Mekanika Tanah Jurusan Teknik Sipil FTSP UII, hasil secara keseluruhan ditampilkan pada Tabel 5.1.

Tabel 5.2. Hasil Pengujian Berat Volume Tanah

| No. pengujian | I | II | III |
|--|-------|-------|-------|
| Diameter tabung (d) cm | 3,98 | 3,98 | 3,98 |
| Tinggi tabung (t) cm | 7,52 | 7,52 | 7,52 |
| Volume (v) cm ³ | 93,51 | 93,51 | 93,51 |
| Berat tanah gr | 144,4 | 146,2 | 149,1 |
| Berat volume tanah γ_b gr/cm ³ | 1,544 | 1,563 | 1,594 |
| Berat volume rata-rata (γ_{rt}) | 1,567 | | |

Untuk pengujian berat volume tanah kering dapat dihitung dengan menggunakan rumus (2.7).

Contoh perhitungan:

$$\begin{aligned}
 \gamma d &= \gamma b / (1 + w) \\
 &= 1.747 * 100 / (100 + 42.87) \\
 &= 1.223 \text{ gr/cm}^3
 \end{aligned}$$

3. Pengujian Berat Jenis Tanah (*Specific Gravity*)

Tujuan dari pengujian ini adalah untuk mengetahui besarnya nilai perbandingan antara berat butir-butir tanah dengan berat air destilasi di udara dengan volume yang sama pada suhu tertentu, biasanya diambil suhu 27,5°C. Hasil pengujian berat jenis tanah lempung Bangsri, Jepara yang dilakukan di Laboratorium Mekanika Tanah Jurusan Teknik Sipil FTSP UII, hasil secara keseluruhan ditampilkan pada Tabel 5.3.

Tabel 5.3. Tabel Perhitungan Berat Jenis Tanah

| No. Pengujian | I | II |
|---|----------|----------|
| Berat Picknometer (W1) | 17.21 | 17.89 |
| Berat Picknometer + tanah kering (W2) | 24.65 | 25.12 |
| Berat Picknometer + tanah + air (W3) | 46.73 | 47.12 |
| Berat Picknometer + air (W4) | 42.13 | 42.66 |
| Temperatur (t°) | 26,00 | 26,00 |
| Bj pada temperatur (t°) | 0,996820 | 0,996890 |
| Bj pada temperatur ($27,5^\circ C$) | 0,996410 | 0,996410 |
| Berat tanah kering (Wt) | 7.44 | 7.23 |
| $A = Wt + W4$ | 49.57 | 49.89 |
| $I = A - W3$ | 2.84 | 2.77 |
| Berat Jenis tanah, $Gs = Wt / I$ | 2,62 | 2,61 |
| Berat Jenis = $Gs \cdot (Bj t^\circ / Bj t 27,5^\circ C)$ | 2,6208 | 2,6112 |
| Berat jenis rata-rata (Gs) | 2,62 | |

4. Pengujian *Grain Size Analysis*

Tujuan pengujian ini untuk mengetahui butir-butir tanah serta prosentasenya berdasarkan batas-batas klasifikasi jenis tanah, sehingga dapat diketahui jenis tanah yang diuji. Untuk analisis susunan butir tanah ini dilakukan dua pengujian, yaitu :

4.a. Pengujian Hidrometer (Hydrometer Analysis)

Yaitu untuk mengetahui diameter butir-butir tanah yang lebih kecil dari 0.075 mm atau yang lolos saringan no. 200. Untuk pengujian hidrometer tanah lempung Bangsri-Jepara yang dilakukan di Laboratorium Mekanika Tanah Jurusan Teknik Sipil FTSP UII, hasilnya ditampilkan pada Tabel 5.4.

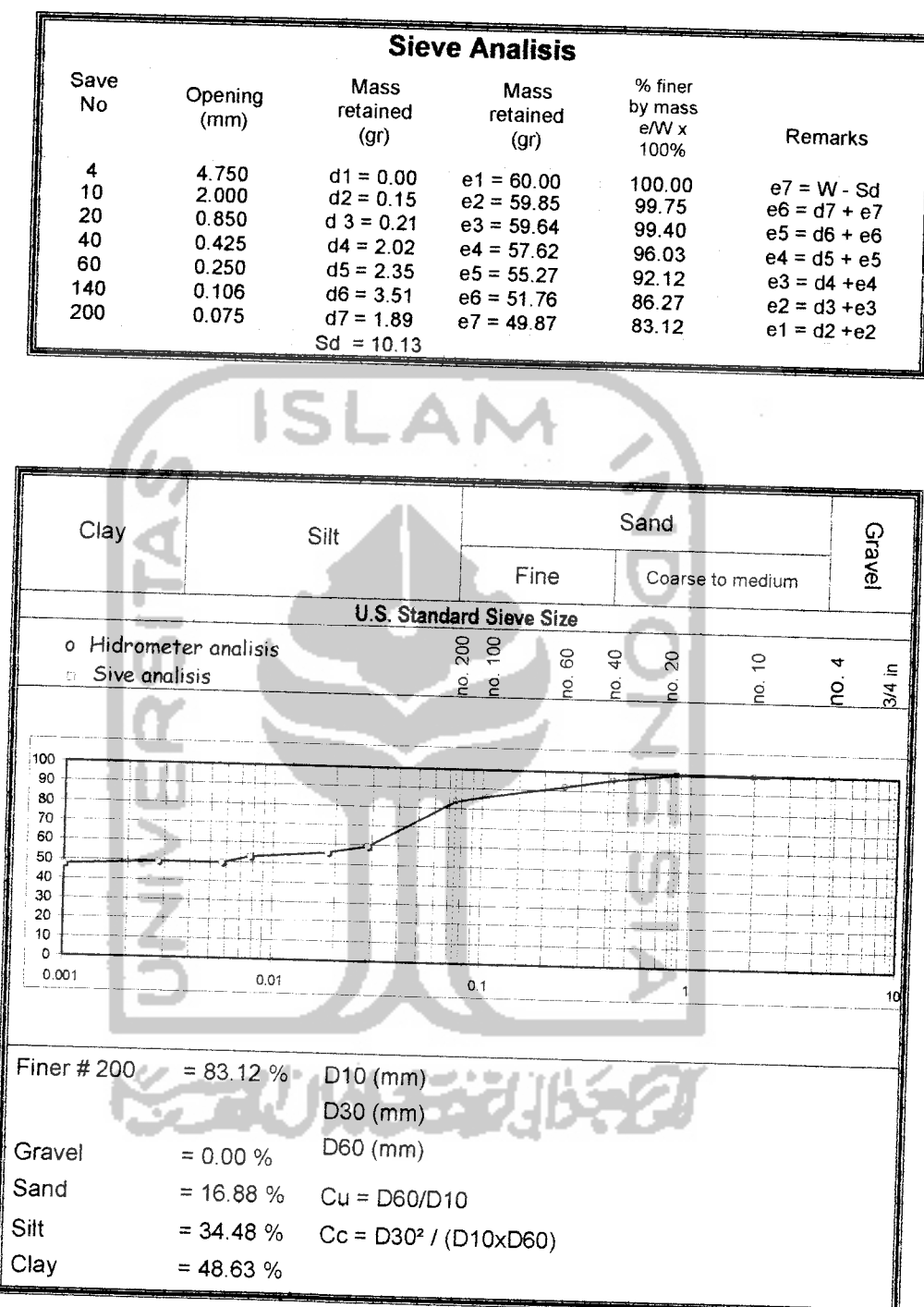
Tabel 5.4. Pengujian Hidrometer

| Time | elapsed time min. (T) | Pemb. Hdr disuspensi | | Tempr (t) | R' R1+m | L | K | D (mm) |
|-------|-----------------------------|-------------------------|------|--------------|------------|--------|--------|-----------|
| | | (R1) | (R2) | | | | | |
| 9.00 | | | | | | | | |
| 9.02 | 2 | 32 | -2.0 | 28.8 | 33 | 10.892 | 0.0122 | 0.0284 |
| 9.05 | 5 | 30 | -2.0 | 28.5 | 31 | 11.219 | 0.0122 | 0.0183 |
| 9.30 | 30 | 28 | -2.0 | 27 | 29 | 11.547 | 0.0126 | 0.0078 |
| 10.30 | 60 | 26 | -2.0 | 26 | 27 | 11.874 | 0.0128 | 0.0057 |
| 14.40 | 250 | 26 | -2.0 | 26 | 27 | 11.874 | 0.0128 | 0.0028 |
| 9.00 | 1440 | 25 | -2.0 | 25.5 | 26 | 12.038 | 0.0128 | 0.0010 |

Remarks:
 $R_c = R_1 - R_2 + Cr$ (Cr = Temperatur correction factors)
 $R' = R_1 + m$ (m correctoin for meniscus)

4.b. Pengujian analisis saringan

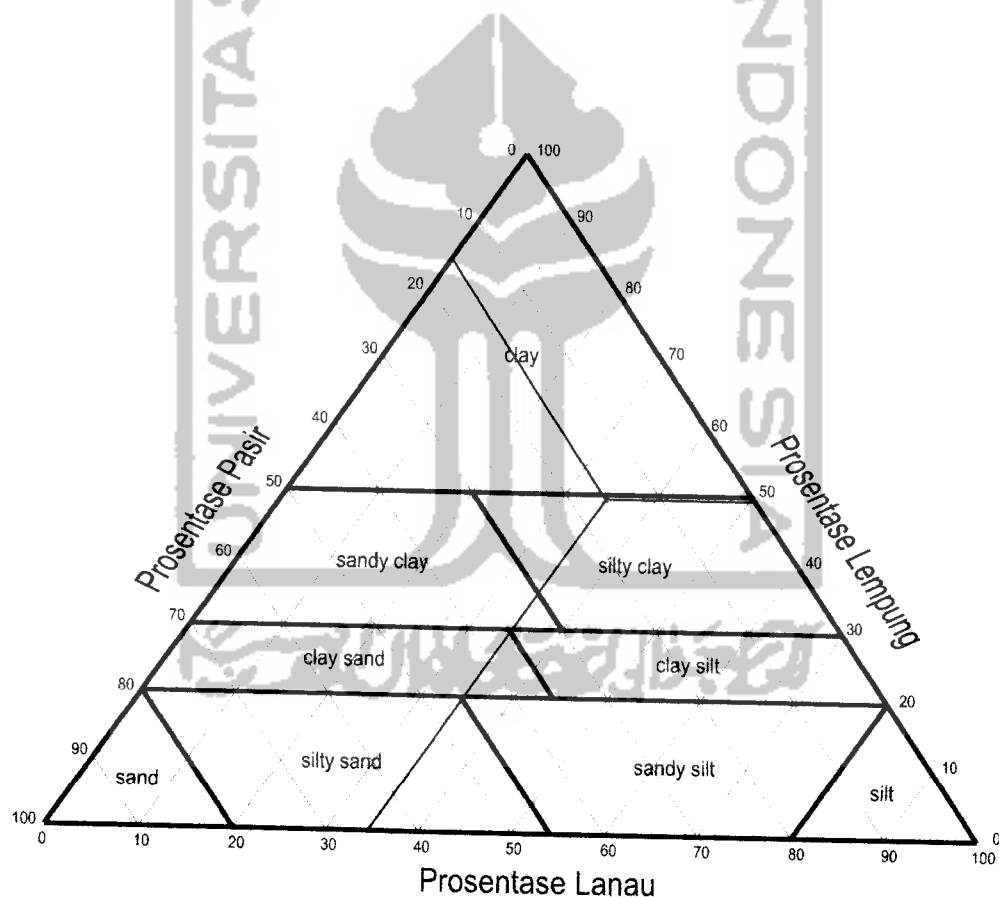
Yaitu untuk mengetahui diameter butir-butir yang lebih besar dari 0,075 mm atau yang tertahan saringan no.200. Untuk pengujian Analitis Saringan tanah lempung Bangsri – Jepara yang dilakukan di Laboratorium Mekanika Tanah Jurusan Teknik Sipil FTSP UII, hasil secara keseluruhan ditampilkan pada Tabel 5.5.

Tabel 5.5. Hasil Pengujian Analisis Saringan**Gambar 5.1.** Grafik Analisa Butiran

Berdasarkan pengujian diatas dapat diketahui tanah lempung Bangsri – Jepara mengandung

- Sand = 16.88 %
- Silt = 34.48 %
- Clay = 48.63 %

maka menurut klasifikasi tanah berdasarkan USCS pada Gambar 5.2. tanah Bangsri – Jepara termasuk jenis tanah lempung berlanau dan mengandung pasir.



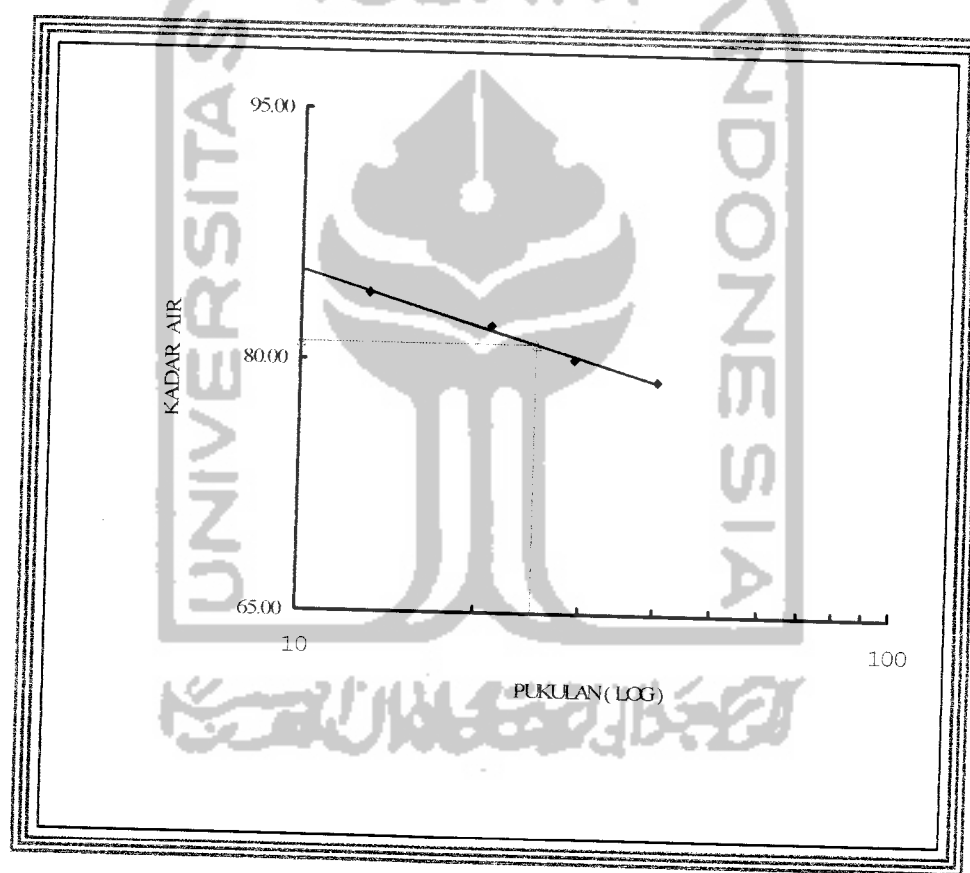
Gambar 5.2. Klasifikasi tanah berdasarkan USCS

5. Pengujian Batas Konsistensi Tanah (Batas-Batas Atterberg)

Tujuan dari pengujian ini adalah untuk mengetahui batas-batas kecairan atau kekentalan dari keadaan yang satu ke keadaan yang lain.

5.a. Batas Cair (*Liquit Limit atau LL*)

Maksud pengujian ini adalah untuk menentukan kadar air tanah pada batas antara keadaan cair dan plastis. Hasil perhitungan batas cair ditunjukkan pada Gambar 5.3.



Gambar 5.3. Kurva hubungan antara ketukan dan kadar air

Pada gambar diatas terlihat hasil pengujian pada jumlah ketukan 25 didapat kadar air 81.03 %.

5.b. Batas Plastis (*Plastic Limit* atau *PL*)

Tujuan pengujian adalah untuk menentukan kadar air tanah pada batas antara keadaan liat dan padat. Untuk pengujian batas plastis tanah lempung Bangsri - Jepara yang dilakukan di Laboratorium Mekanika Tanah Jurusan Teknik Sipil FTSP UII, hasil secara keseluruhan ditampilkan pada Tabel 5.6.

Tabel 5.6. Perhitungan Batas Plastis

| PENGUJIAN BATAS PLASTIS | | | |
|--------------------------------|---------------------------------|-------|-------|
| 1 | NO CAWAN | 1 | 2 |
| 2 | BERAT CAWAN KOSONG (gr) | 21.80 | 21.83 |
| 3 | BERAT CAWAN + TANAH BASAH (gr) | 34.24 | 33.80 |
| 4 | BERAT CAWAN + TANAH KERING (gr) | 31.09 | 30.76 |
| 5 | BERAT AIR (3)-(4) gr | 3.15 | 3.04 |
| 6 | BERAT TANAH KERING (4)-(2) gr | 9.29 | 8.89 |
| 7 | KADAR AIR = (5) / (6) × 100 % = | 33.91 | 34.04 |
| 8 | KADAR AIR RATA-RATA (%) = | 33.97 | |

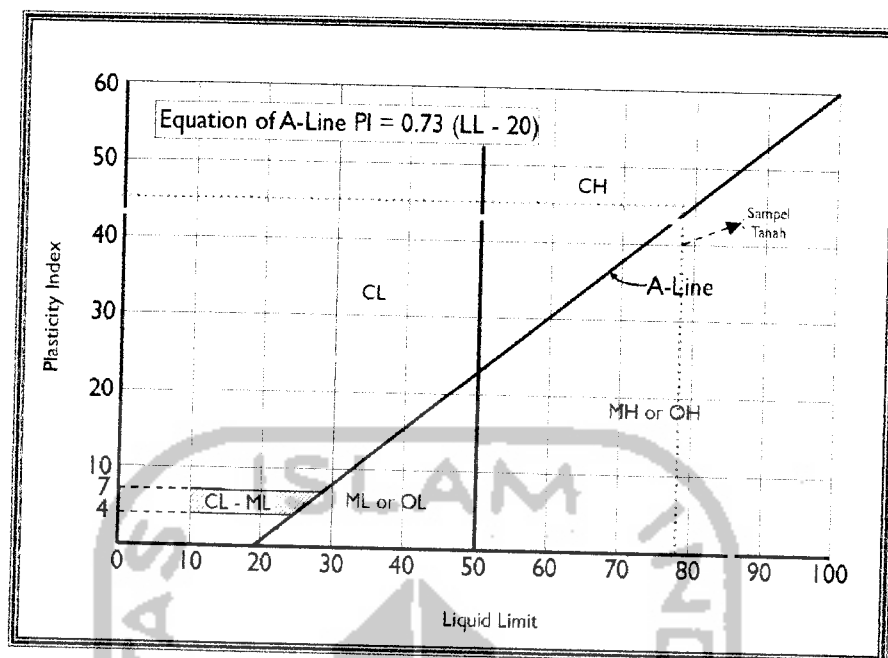
5.c. Batas Susut (*Shrinkage Limit* atau *SL*)

Untuk menentukan kadar air tanah minimum yang masih dalam keadaan semi solid. Pada pengujian batas susut tanah lempung Bangsri – Jepara yang dilakukan di Laboratorium Mekanika Tanah Jurusan Teknik Sipil FTSP UII, hasil secara keseluruhan ditampilkan pada Tabel 5.7.

Tabel 5.7. Perhitungan Batas Susut

| 1 | No Pengujian (kode sampel) | 1 | 2 |
|----|---|--------|--------|
| 2 | Berat jenis tanah | 2.62 | 2.62 |
| 3 | Berat cawan susut W1 (gr) | 40.00 | 38.40 |
| 4 | Berat cawan susut + tanah basah W2 (gr) | 64.35 | 63.65 |
| 5 | Berat cawan susut + tanah kering W3 (gr) | 58.66 | 58.68 |
| 6 | Berat air Wa (gr) = (W2-W3) | 5.69 | 4.97 |
| 7 | Berat tanah kering Wo (gr) = (W3-W1) | 18.66 | 20.28 |
| 8 | Berat air raksa yg terdesak tanah kering + gelas ukur Wr (gr) | 182.80 | 193.30 |
| 9 | Berat gelas ukur W4 (gr) | 33.80 | 33.80 |
| 10 | Volume tanah kering Vo (cm ³) = Wr-W4) / 13,6 | 10.96 | 11.73 |
| 11 | Batas susut tanah SL (%) = ((Vo/Wo) - (1/Gs)) x 100 % | 20.55 | 19.66 |
| 12 | Batas susut tanah rata-rata SL (%) | 20.10 | |

Berdasarkan dari data pengujian diatas didapat harga PI = 47.06 % dan harga LL = 81.03 %, maka menurut klasifikasi *Unified* dan juga berdasarkan grafik *Atteberg Limits* diketahui bahwa tanah Bangsri – Jepara termasuk jenis tanah CH yaitu lempung dengan plastisitas tinggi, lempung tak organik.



Gambar 5.4. Diagram plastisitas

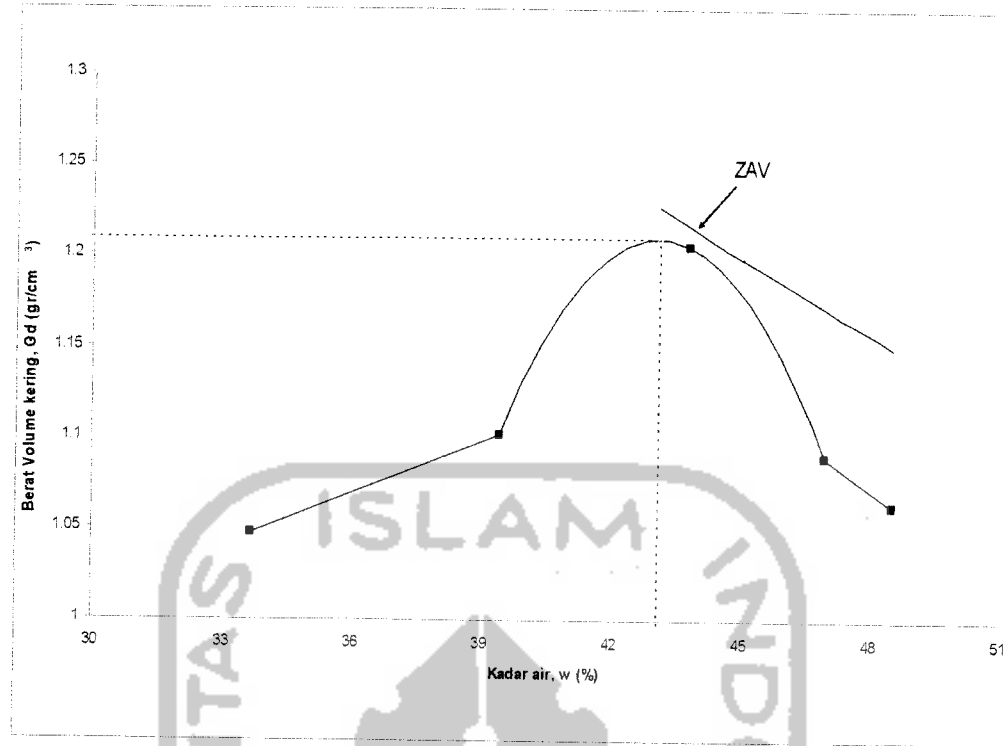
5.1.2. Pengujian Sifat mekanik tanah

a. Pengujian Proktor Standar

Untuk mengetahui Kadar Air yang Optimum dengan Berat Volume Kering Maksimum. Mula-mula tanah dijemur sampai kering, didapatkan kadar air sebesar 16.30 % dan ditambahkan air dalam pengujian sampai didapatkan berat volume kering optimum. Untuk Pengujian Proktor Standar yang dilakukan di Laboratorium Mekanika Tanah Jurusan Teknik Sipil FTSP UII, hasil secara keseluruhan ditampilkan pada Tabel 5.8.

Tabel 5.8. Hasil Pengujian Pemadatan Proktor Standar

| Percobaan | 1 | 2 | 3 | 4 | 5 |
|---------------------------------------|-------|-------|-------|-------|-------|
| w rata-rata (%) | 33.66 | 39.38 | 43.77 | 46.93 | 48.50 |
| γ basah (gr/cm ³) | 1.400 | 1.536 | 1.733 | 1.601 | 1.578 |
| γ kering (gr/cm ³) | 1.075 | 1.102 | 1.205 | 1.089 | 1.063 |



Gambar 5.5. Kurva hubungan antara Kadar Air dengan Berat Volume Kering

Dari gambar kurva diatas diperoleh :

$$\text{Berat Volume Kering Maksimum} = 1.20933 \text{ gr/cm}^3$$

$$\text{Kadar Air Optimum} = 43.06 \%$$

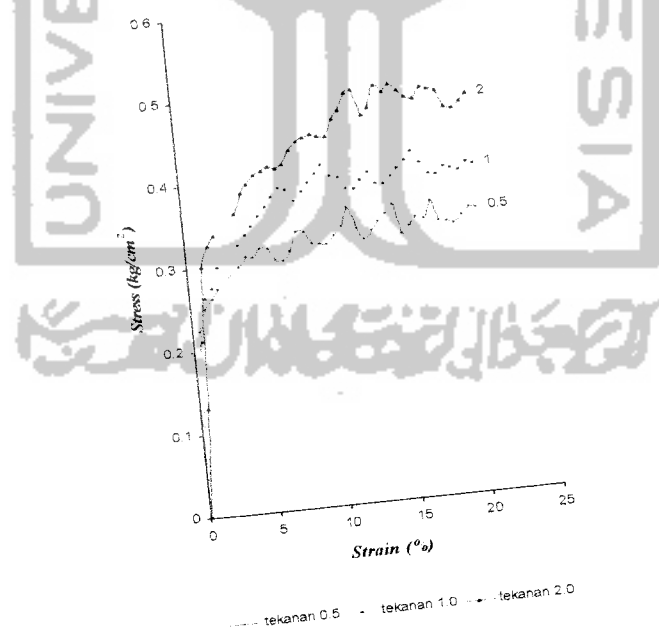
Berdasarkan hasil pengujian Proktor Standar yang terdapat pada Tabel 5.8 berupa kadar air kondisi optimum tersebut, digunakan sebagai pedoman pencampuran dalam pembuatan sampel benda uji pada pengujian Triaksial Takterkonsolidasi Takterdrainasi dan Tekan Bebas.Untuk satu kali pengujian Triaksial tipe UU diperlukan tiga sampel tanah, masing- masing untuk tekanan sel 0.5, tekanan sel 1.0 dan tekanan sel 2.0 (kg/cm²). Sedangkan satu kali pengujian Tekan Bebas diperlukan satu sampel.

b.Pengujian Triaksial Takterkonsolidasi Takterdrainasi (*Unconsolidated Undrained*) tanah asli

Pengujian Triaksial dilakukan untuk menentukan nilai sudut gesek dalam (ϕ) dan kohesi tanah (c), yang disetiap sampel diberi tekanan sel 0.5, 1.0 dan 2.0 kg/cm^2 .

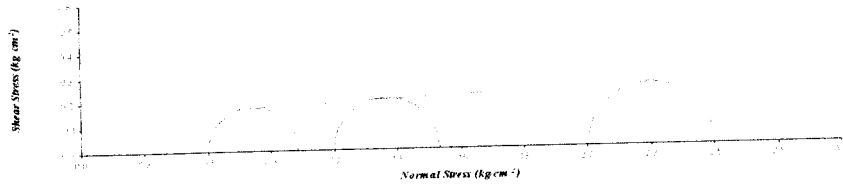
Kemudian diposisikan dalam grafik lingkaran Mohr dengan sumbu-X berupa tegangan normal (*normal stress*), sedangkan sumbu-Y berupa tegangan geser (*shear stress*), keduanya dalam satuan kg/cm^2 . Sedangkan berat volume tanah, berat volume kering dan kadar air sampel dihitung sebelum dilakukan pengujian, sehingga hasilnya sama untuk setiap sampel, kecuali pada w_{opt} .

Dari hasil pengujian Triaksial didapat σ_{max} , seperti pada Gambar 5.6



Gambar 5.6. Kurva tegangan dan regangan pada uji triaksial tanah asli

Dari $\Delta\sigma$ max yang didapat dibuat lingkaran Mohr, seperti pada Gambar 5.7



Gambar 5.7. Lingkaran Mohr uji Triaksial tanah asli

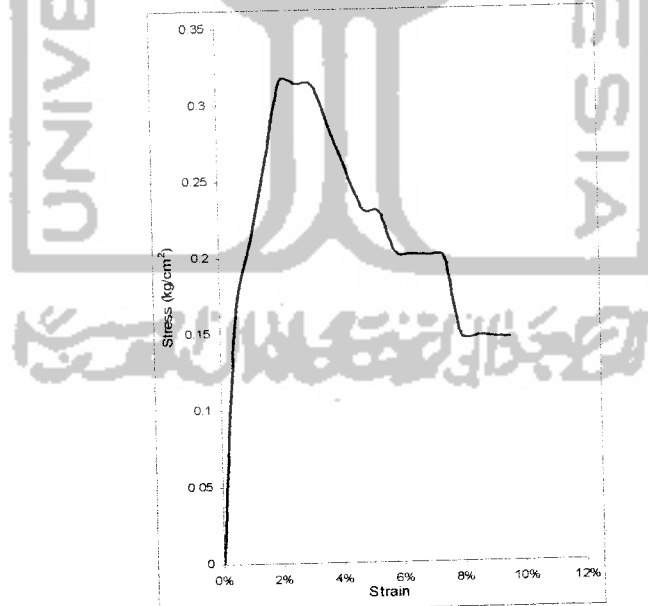
C adalah titik perpotongan garis singgung lingkaran pada sumbu y = 0.147 kg/cm²

ϕ adalah sudut antara garis singgung terhadap garis horizontal = 2.634°

c. Pengujian Tekan Bebas (tanah asli)

untuk menentukan nilai sudut gesek dalam (ϕ) dan kohesi tanah (c).

Dari hasil pengujian Tekan Bebas didapat σ max, terlihat pada Gambar 5.8



Gambar 5.8. Kurva Regangan dan Tegangan uji Tekan Bebas tanah asli

Dari Gambar 5.8 didapat $\sigma_{\text{max}} = 0.31587 \text{ kg/cm}^2$

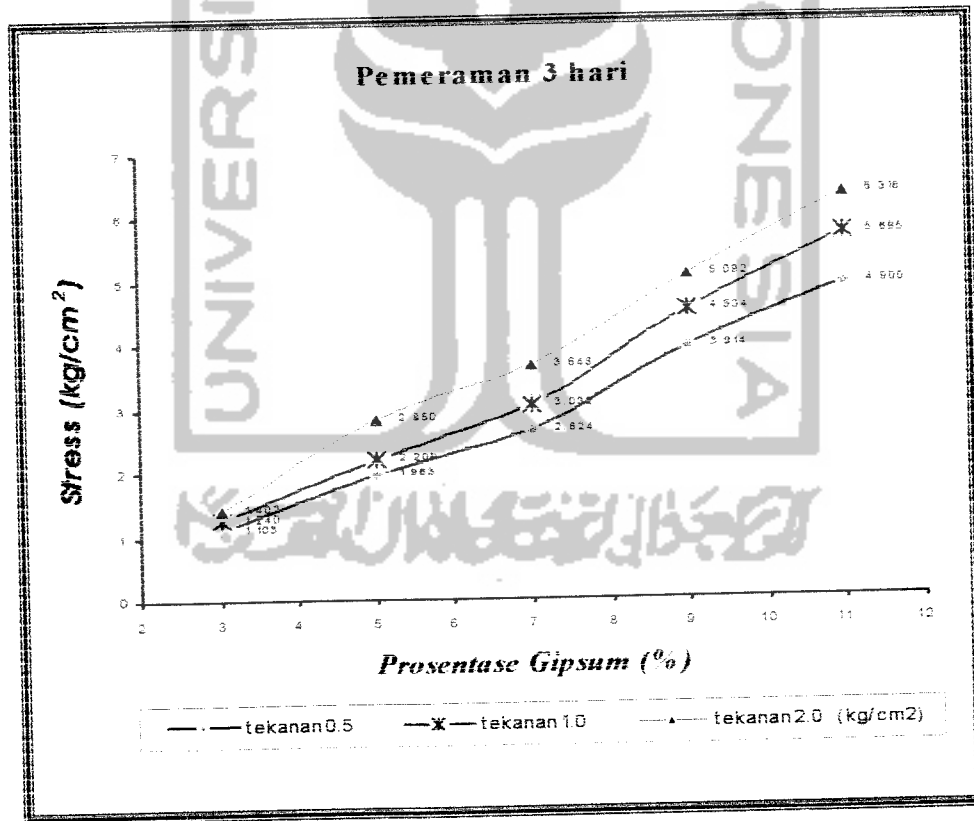
$$\begin{aligned}\text{Kohesi (c)} &= \sigma_{\text{max}} / 2 \tan \alpha = 0.31587 / 2 \tan 45.5 \\ &= 0.137 \text{ kg/cm}^2\end{aligned}$$

$$\begin{aligned}\text{Sudut geser dalam } (\emptyset) &= 2(\alpha - 45^\circ) = 2(49^\circ - 45^\circ) \\ &= 8^\circ\end{aligned}$$

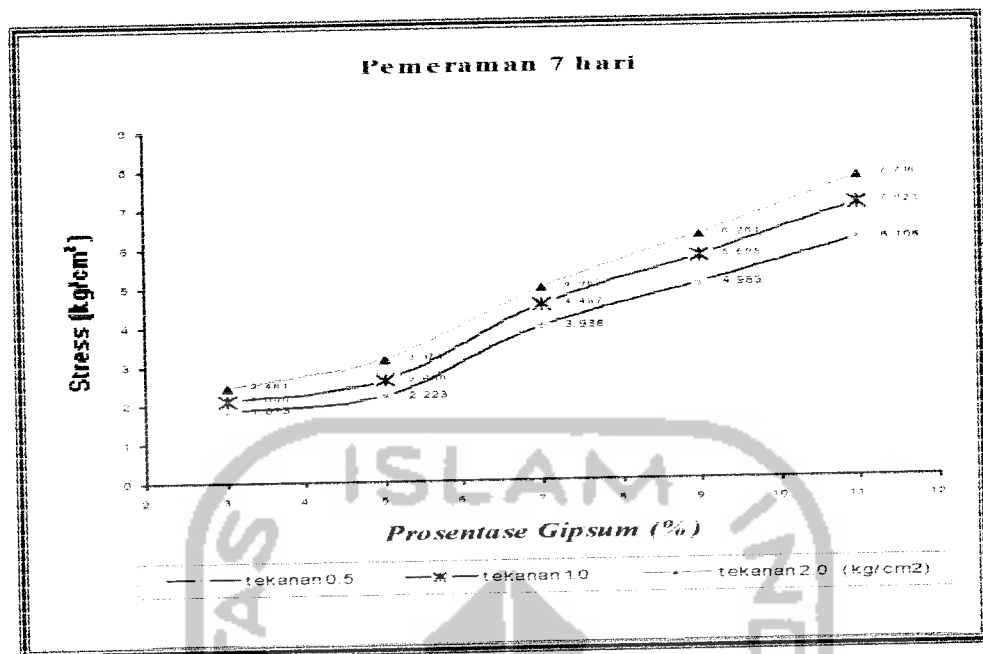
5.1.2.1. Tanah asli ($w = 16.30\%$) + Gipsum

1. Pengujian Triaksial

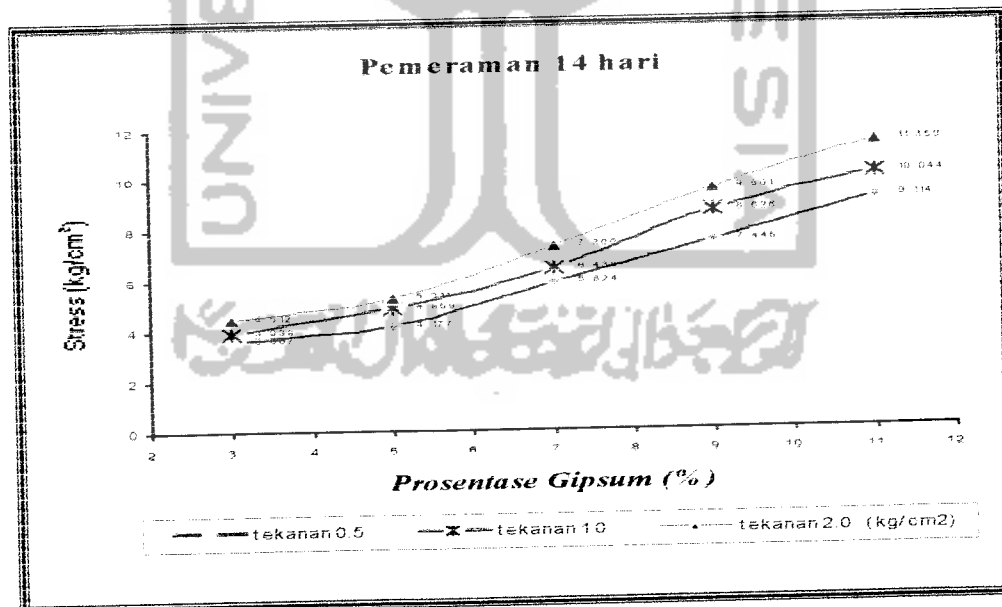
Dari hasil pengujian Triaksial didapat $\Delta\sigma_{\text{max}}$ pada setiap σ_3 yang diberikan, terlihat pada Gambar 5.9, 5.10, 5.11.



Gambar 5.9. Grafik $\Delta\sigma_{\text{max}}$ pada pengujian Triaksial dengan pencampuran Gipsum umur pemeraman 3 hari.

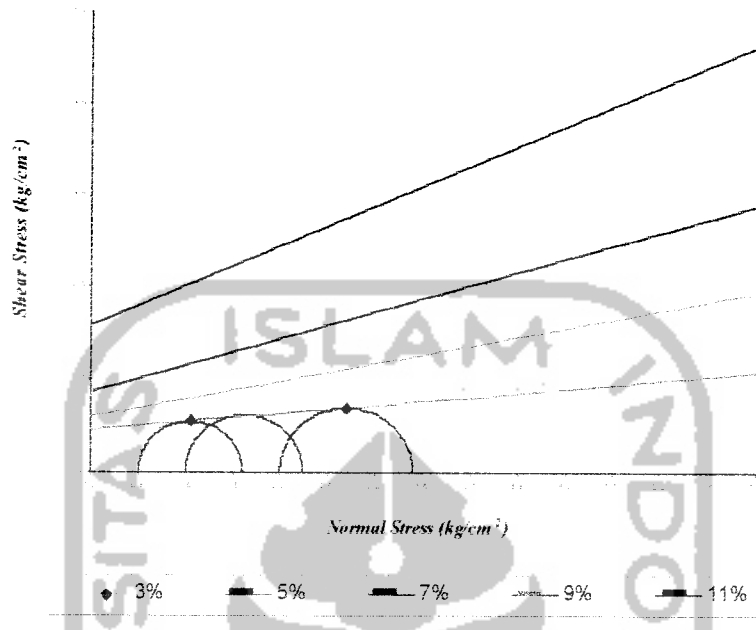


Gambar 5.10. Grafik $\Delta\sigma$ max pada pengujian Triaksial dengan pencampuran Gipsum umur pemerasan 7 hari.

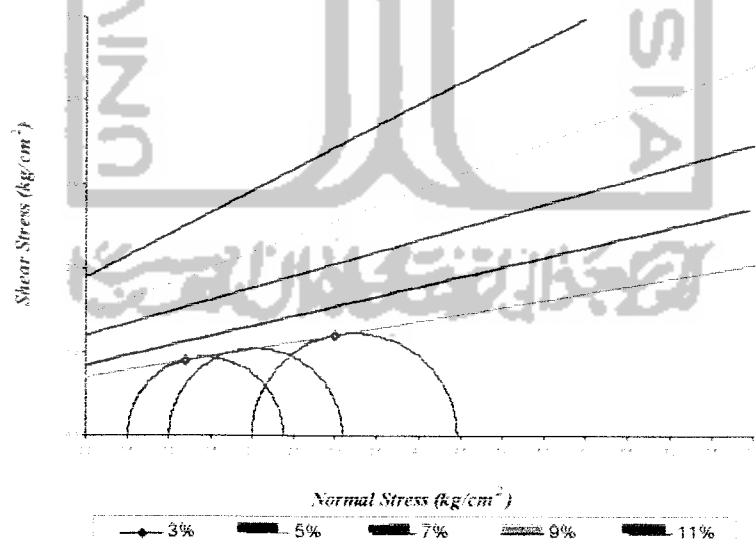


Gambar 5.11. Grafik $\Delta\sigma$ max pada pengujian Triaksial dengan pencampuran Gipsum umur pemerasan 14 hari.

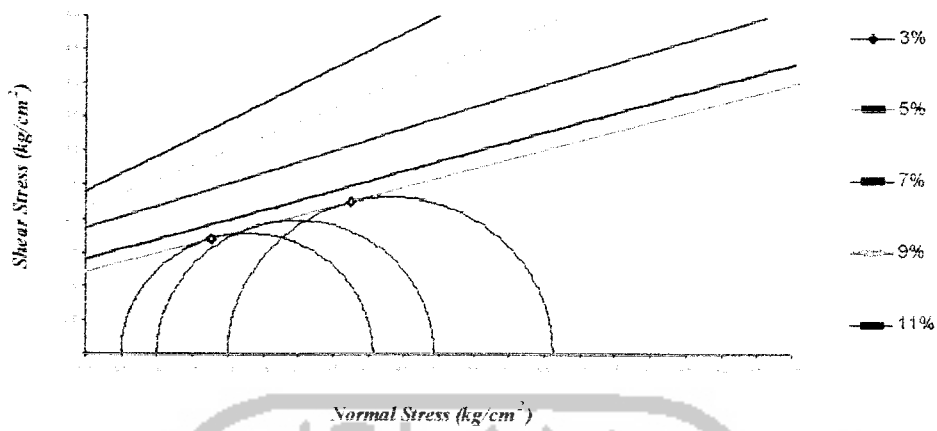
Dari $\Delta\sigma$ max yang didapat, dibuat lingkaran Mohr, terlihat pada Gambar 5.12, 5.13, 5.14.



Gambar 5.12. Lingkaran Mohr pada pengujian Triaksial dengan pencampuran Gipsum pada pemeraman 3 hari.



Gambar 5.13. Lingkaran Mohr pada pengujian Triaksial dengan pencampuran Gipsum pada pemeraman 7 hari.



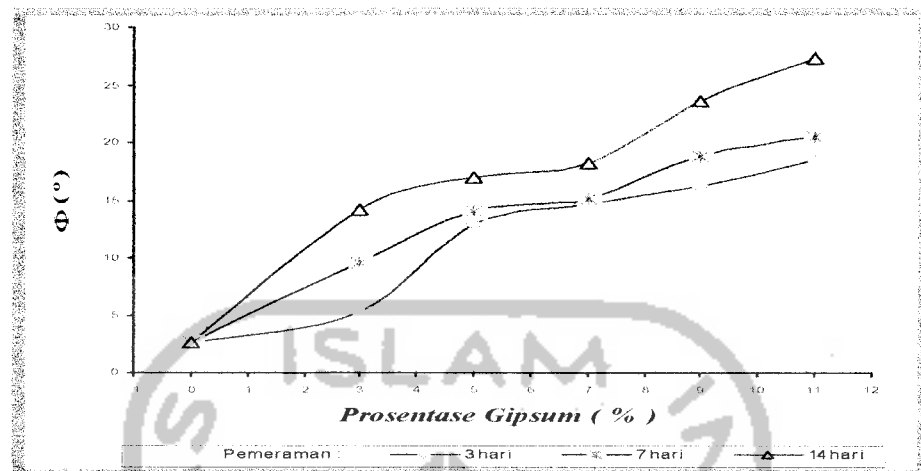
Gambar 5.14. Lingkaran Mohr pada pengujian Triaksial dengan pencampuran Gipsum pada pemeraman 14 hari.

Hasil keseluruhan nilai Φ dan C dengan pencampuran Gipsum ditampilkan dalam Tabel 5.9.

Tabel 5.9. Hasil pengujian Triaksial dengan bahan campuran Gipsum

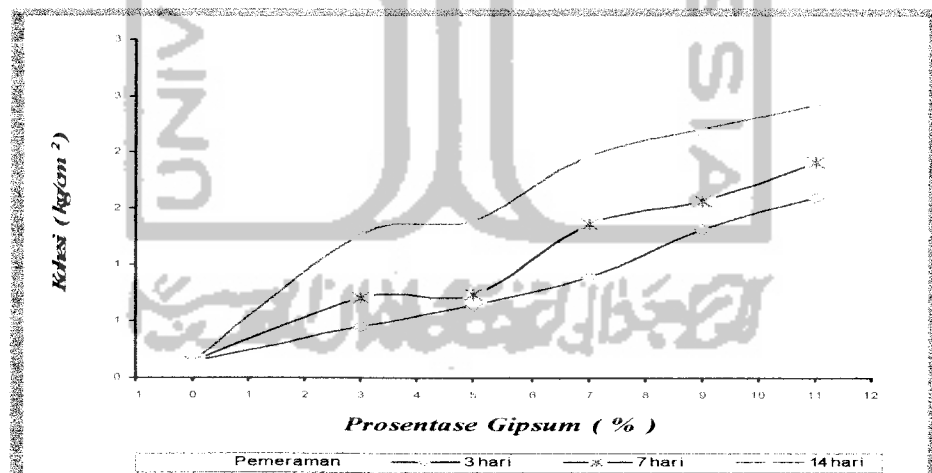
| Pencampuran Gipsum (%) | Hari | γ_b (gr/cm^3) | Φ (°) | C (kg/cm^2) |
|------------------------|------|--|------------|---------------------------------|
| 3 | 3 | 0.001567 | 5.170 | 0.456 |
| | 7 | | 9.462 | 0.700 |
| | 14 | | 14.104 | 1.258 |
| 5 | 3 | 0.001567 | 12.851 | 0.643 |
| | 7 | | 14.006 | 0.742 |
| | 14 | | 16.928 | 1.383 |
| 7 | 3 | 0.001567 | 14.574 | 0.890 |
| | 7 | | 15.110 | 1.360 |
| | 14 | | 18.122 | 1.964 |
| 9 | 3 | 0.001567 | 16.172 | 1.320 |
| | 7 | | 18.778 | 1.570 |
| | 14 | | 23.589 | 2.198 |
| 11 | 3 | 0.001567 | 18.435 | 1.600 |
| | 7 | | 20.405 | 1.910 |
| | 14 | | 27.172 | 2.424 |

Perbandingan nilai Φ pada pengujian Triaksial dengan bahan campuran Gipsum ditampilkan dalam Gambar 5.15.



Gambar 5.15. Grafik hubungan antara Φ dengan prosentase campuran Gipsum pada uji Triaksial.

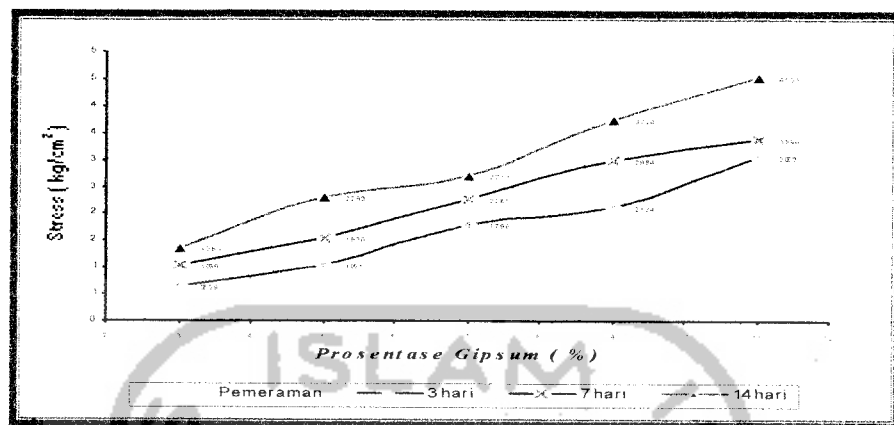
Perbandingan nilai Kohesi pada pengujian Triaksial dengan bahan campuran Gipsum ditampilkan dalam Gambar 5.16.



Gambar 5.16. Grafik hubungan antara kohesi dengan prosentase campuran Gipsum pada uji Triaksial.

2. Pengujian Tekan Bebas

Dari hasil pengujian Tekan Bebas didapat σ_{\max} , ditampilkan pada Gambar 5.17.



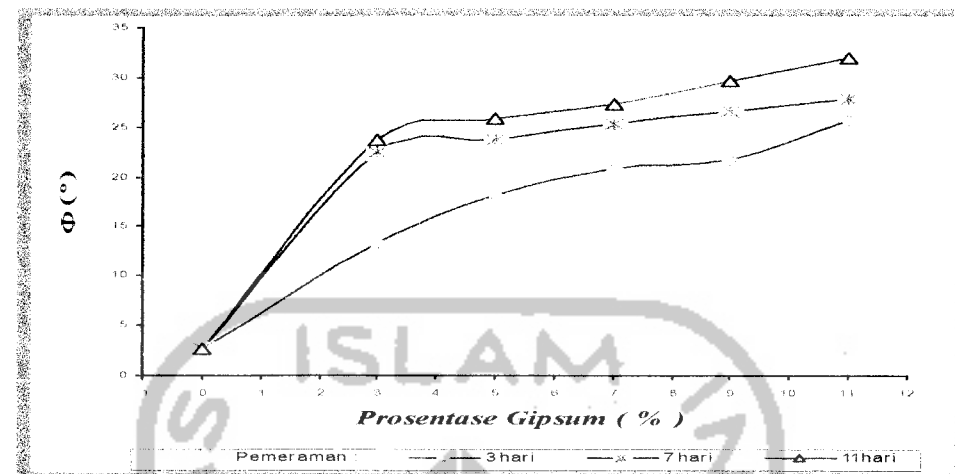
Gambar 5.17. Grafik σ_{\max} pengujian Tekan Bebas dengan bahan campuran Gipsum.

Hasil keseluruhan pengujian Tekan Bebas dengan bahan campuran Gipsum ditampilkan dalam Tabel 5.10.

Tabel 5.10. Hasil pengujian Tekan Bebas dengan bahan campuran Gipsum

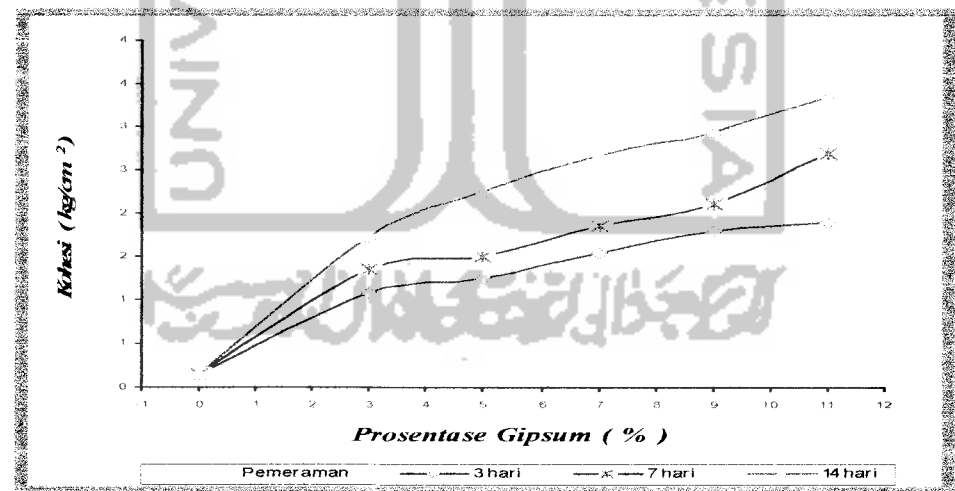
| Pencampuran Gipsum (%) | Hari | γ_b (gr/cm³) | ϕ (%) | σ_{\max} (kg/cm²) |
|------------------------|------|---------------------|------------|--------------------------|
| 3 | 3 | 0.001567 | 10.0 | 0.276 |
| | 7 | | 16.0 | 0.391 |
| | 14 | | 20.0 | 0.477 |
| 5 | 3 | 0.001567 | 15.0 | 0.403 |
| | 7 | | 20.0 | 0.536 |
| | 14 | | 23.0 | 0.761 |
| 7 | 3 | 0.001567 | 18.0 | 0.653 |
| | 7 | | 23.0 | 0.750 |
| | 14 | | 27.0 | 0.831 |
| 9 | 3 | 0.001567 | 20.0 | 0.747 |
| | 7 | | 26.0 | 0.932 |
| | 14 | | 29.0 | 1.097 |
| 11 | 3 | 0.001567 | 26.0 | 0.953 |
| | 7 | | 29.0 | 1.000 |
| | 14 | | 32.0 | 1.256 |

Perbandingan nilai Φ pada pengujian Tekan Bebas dengan bahan campuran Gipsum ditampilkan dalam Gambar 5.18.



Gambar 5.18. Grafik hubungan antara Φ dengan prosentase campuran Gipsum pada uji Tekan Bebas.

Perbandingan nilai Kohesi pada pengujian Tekan Bebas dengan bahan campuran Gipsum ditampilkan dalam Gambar 5.19.

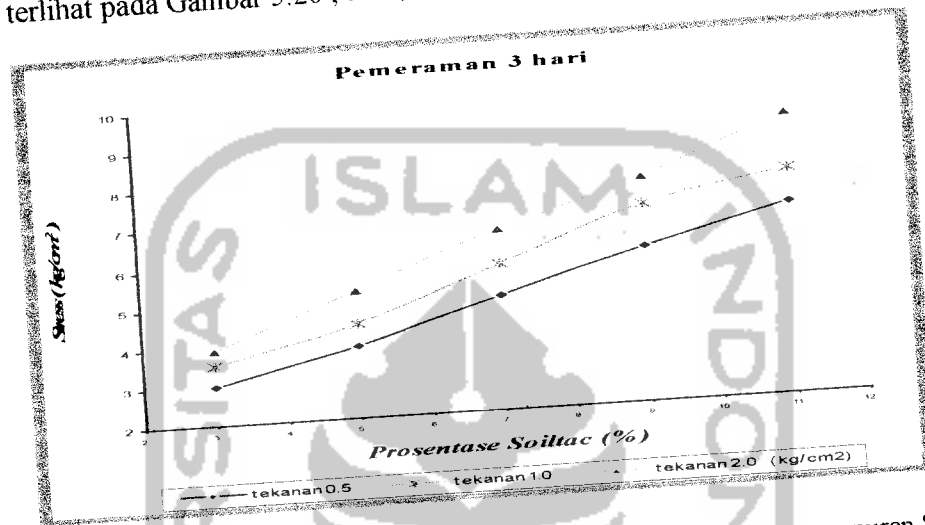


Gambar 5.19. Grafik hubungan antara kohesi dengan prosentase campuran Gipsum pada uji Tekan Bebas.

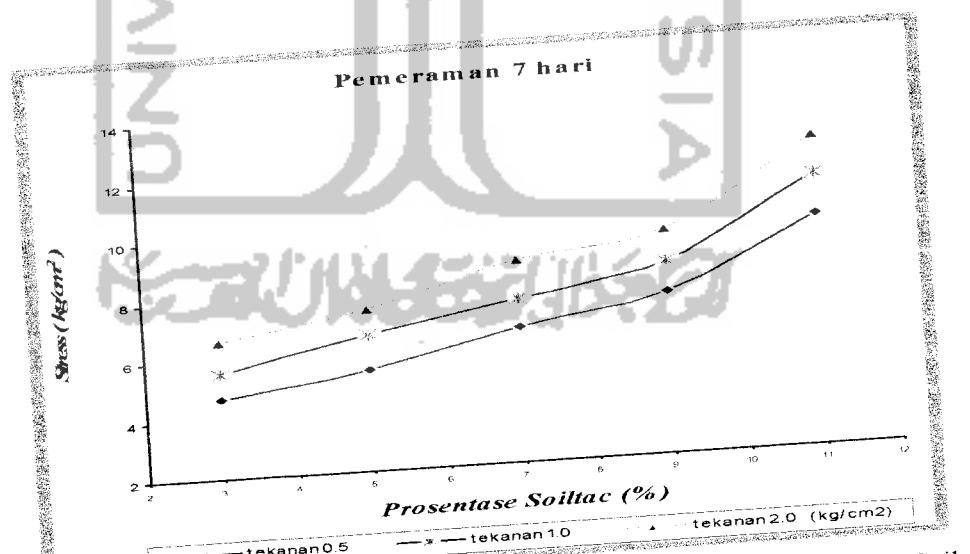
5.1.2.2. Tanah asli ($w = 16.30 \%$) + Soiltac

1. Pengujian triaksial

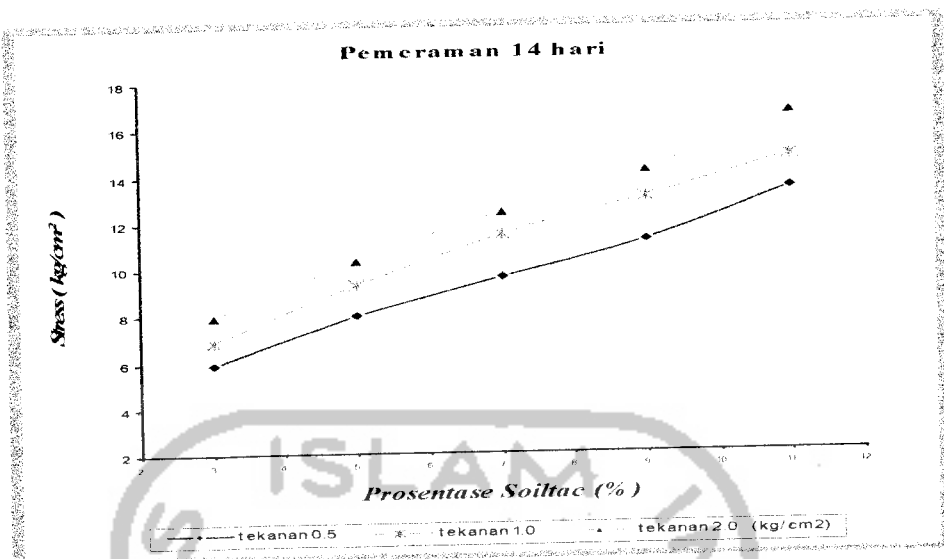
Dari hasil pengujian triaksial didapat $\Delta\sigma$ max pada setiap σ_3 yang diberikan, terlihat pada Gambar 5.20 , 5.21, 5.22.



Gambar 5.20. Grafik $\Delta\sigma$ max pada pengujian Triaksial dengan pencampuran Soiltac umur pemeraman 3 hari.

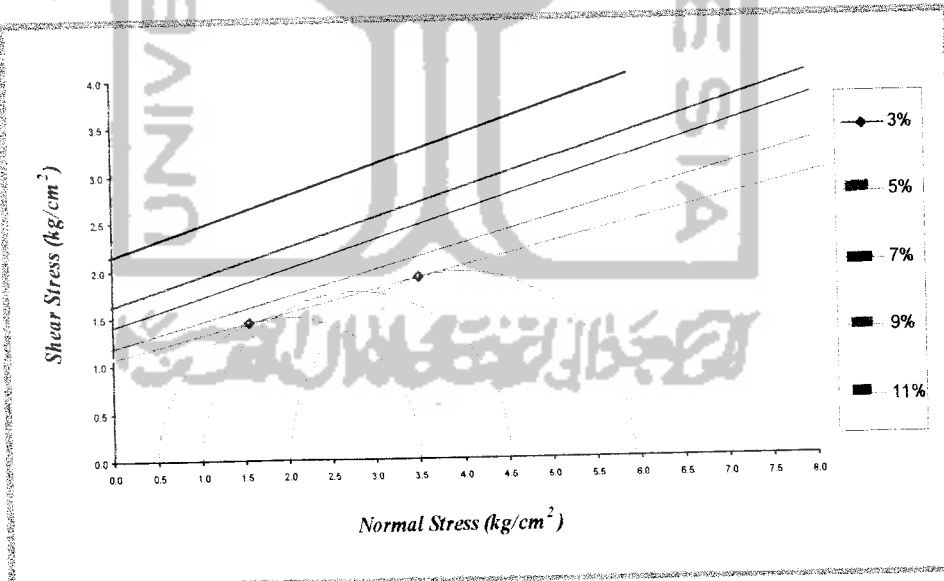


Gambar 5.21. Grafik $\Delta\sigma$ max pada pengujian Triaksial dengan pencampuran Soiltac umur pemeraman 7 hari.

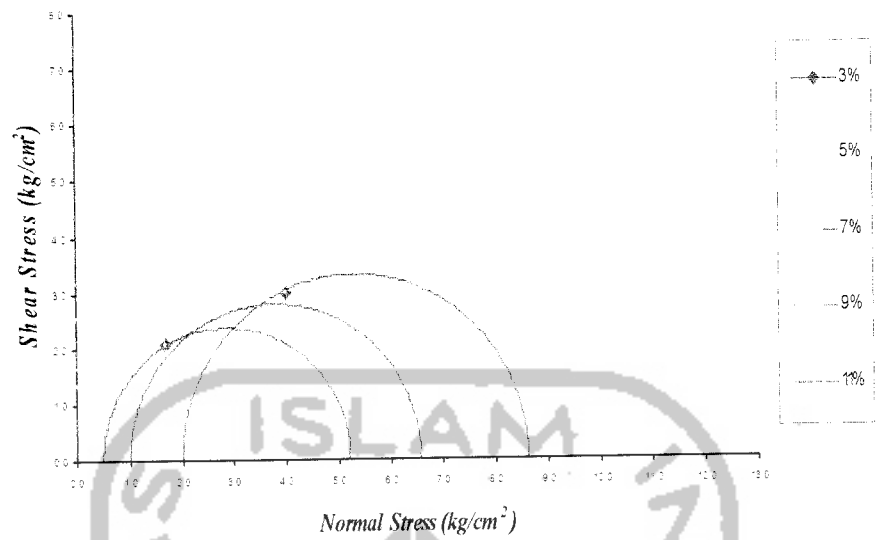


Gambar 5.22. Grafik $\Delta\sigma$ max pada pengujian Triaksial dengan pencampuran Soiltac umur pemeraman 14 hari.

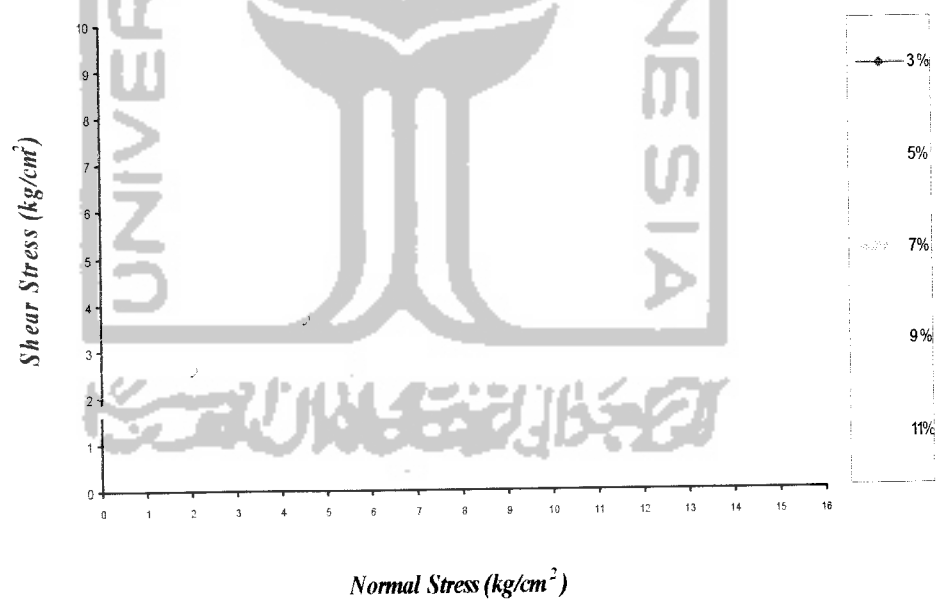
Dari $\Delta\sigma$ max yang didapat, dibuat lingkaran Mohr, terlihat pada Gambar 5.23, 5.24, 5.25.



Gambar 5.23. Lingkaran Mohr pada pengujian Triaksial dengan pencampuran Soiltac pada pemeraman 3 hari.



Gambar 5.24. Lingkaran Mohr pada pengujian Triaksial dengan pencampuran Soiltac pada pemeraman 7 hari.



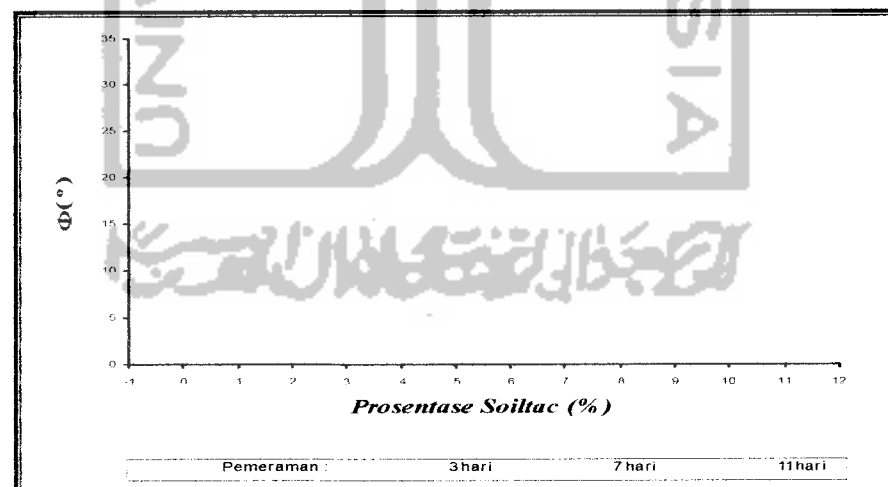
Gambar 5.25. Lingkaran Mohr pada pengujian Triaksial dengan pencampuran Soiltac pada pemeraman 14 hari.

Hasil keseluruhan nilai Φ dan C dengan pencampuran Soiltac ditampilkan dalam Tabel 5.11.

Tabel 5.11. Hasil pengujian Triaksial dengan bahan campuran Soiltac

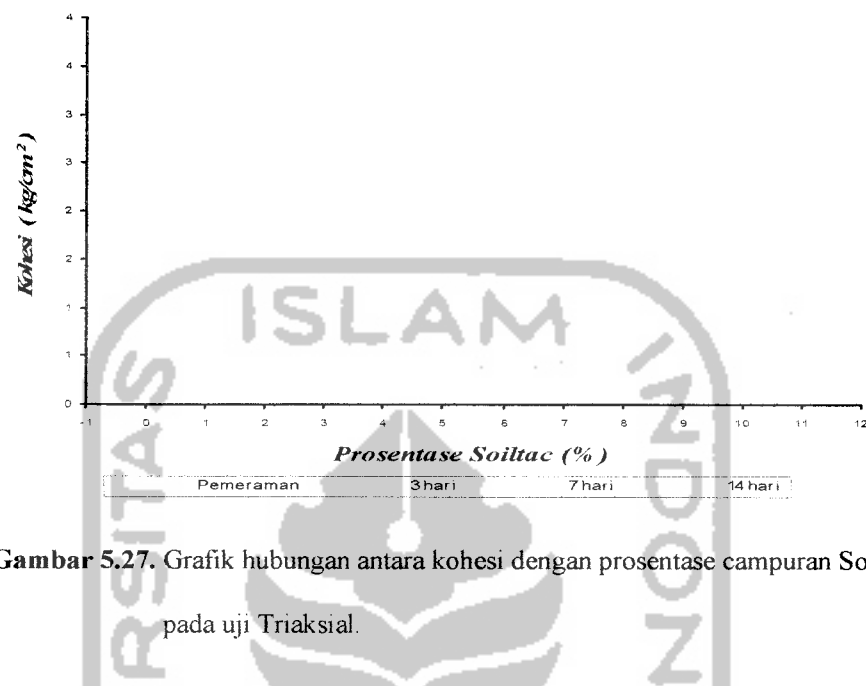
| Pencampuran Gipsum (%) | Hari | γ_b (gr/cm ³) | Φ (°) | C (kg/cm ²) |
|------------------------|------|----------------------------------|------------|-------------------------|
| 3 | 3 | 0.001567 | 13.273 | 1.074 |
| | 7 | | 22.443 | 1.348 |
| | 14 | | 23.749 | 1.720 |
| 5 | 3 | 0.001567 | 18.122 | 1.241 |
| | 7 | | 23.697 | 1.562 |
| | 14 | | 25.885 | 2.240 |
| 7 | 3 | 0.001567 | 20.754 | 1.534 |
| | 7 | | 25.346 | 1.853 |
| | 14 | | 27.368 | 2.669 |
| 9 | 3 | 0.001567 | 21.801 | 1.800 |
| | 7 | | 26.565 | 2.100 |
| | 14 | | 29.686 | 2.937 |
| 11 | 3 | 0.001567 | 25.641 | 1.900 |
| | 7 | | 27.785 | 2.680 |
| | 14 | | 31.994 | 3.347 |

Perbandingan nilai Φ pada pengujian Triaksial dengan bahan campuran Soiltac ditampilkan dalam Gambar 5.26.



Gambar 5.26. Grafik hubungan antara Φ dengan prosentase campuran Soiltac pada uji Triaksial.

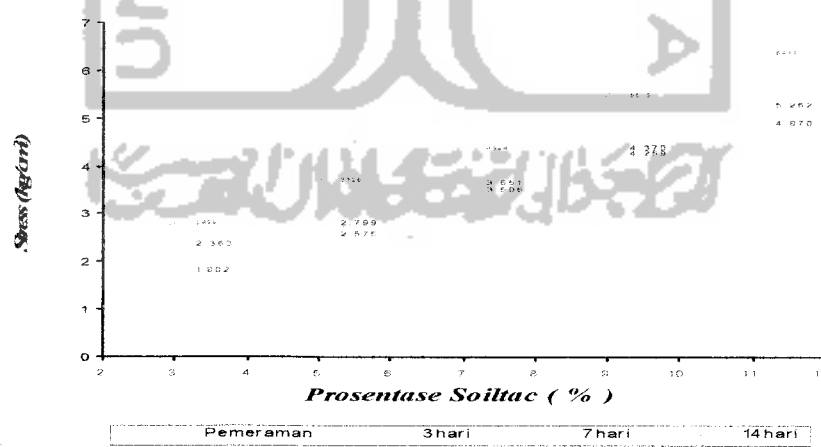
Perbandingan nilai Kohesi pada pengujian Triaksial dengan bahan campuran Soiltac ditampilkan dalam Gambar 5.27.



Gambar 5.27. Grafik hubungan antara kohesi dengan prosentase campuran Soiltac pada uji Triaksial.

2. Pengujian Tekan Bebas

Dari hasil pengujian Tekan Bebas didapat σ_{\max} , ditampilkan pada Gambar 5.28.



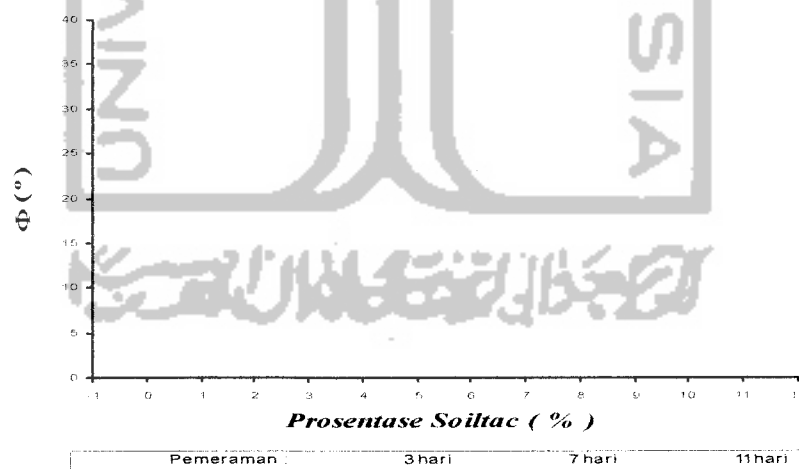
Gambar 5.28. Grafik σ_{\max} pengujian Tekan Bebas dengan bahan campuran Soiltac

Hasil keseluruhan pengujian Tekan Bebas dengan bahan campuran Soiltac ditampilkan dalam Tabel 5.12.

Tabel 5.12. Hasil pengujian Tekan Bebas dengan bahan campuran Soiltac

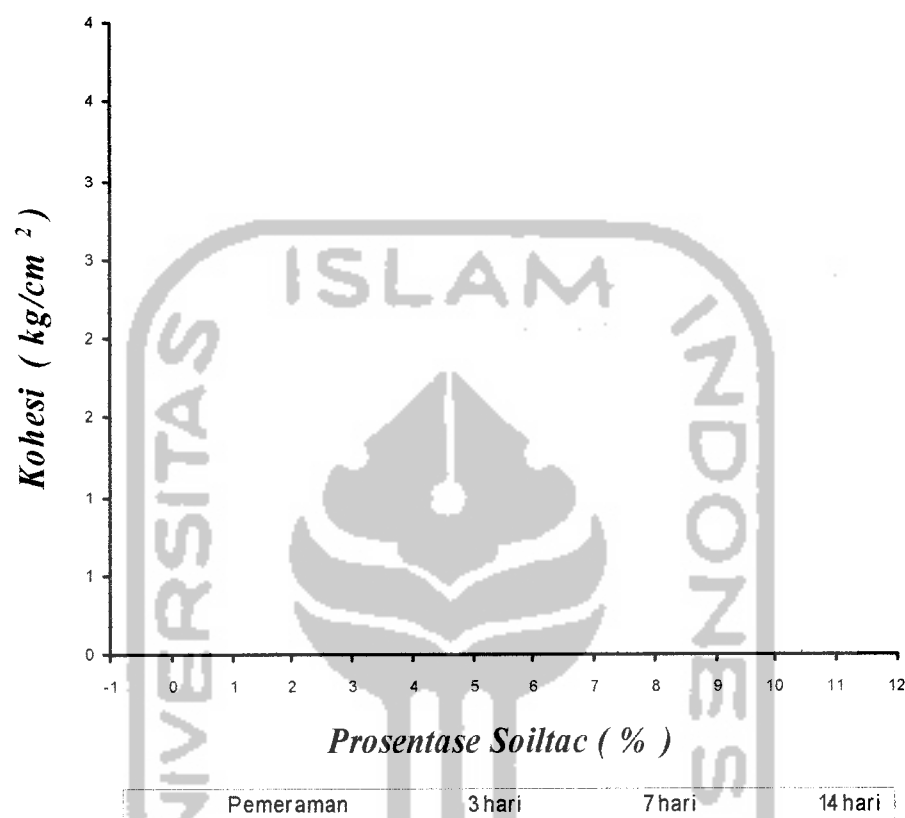
| Pencampuran Soiltac (%) | Hari | γ_b (gr/cm ³) | Φ (°) | C (kg/cm ²) |
|-------------------------|------|----------------------------------|------------|-------------------------|
| 3 | 3 | 0.001567 | 18.00 | 0.655 |
| | 7 | | 26.00 | 0.738 |
| | 14 | | 30.00 | 0.819 |
| 5 | 3 | 0.001567 | 22.00 | 0.868 |
| | 7 | | 28.00 | 0.841 |
| | 14 | | 32.00 | 1.033 |
| 7 | 3 | 0.001567 | 24.00 | 1.138 |
| | 7 | | 30.00 | 1.054 |
| | 14 | | 33.00 | 1.193 |
| 9 | 3 | 0.001567 | 28.00 | 1.280 |
| | 7 | | 32.00 | 1.211 |
| | 14 | | 36.00 | 1.406 |
| 11 | 3 | 0.001567 | 31.00 | 1.378 |
| | 7 | | 33.00 | 1.428 |
| | 14 | | 38.00 | 1.563 |

Perbandingan nilai Φ pada pengujian Tekan Bebas dengan bahan campuran Soiltac ditampilkan dalam Gambar 5.29.



Gambar 5.29. Grafik hubungan antara Φ dengan prosentase campuran Soiltac pada uji Tekan Bebas.

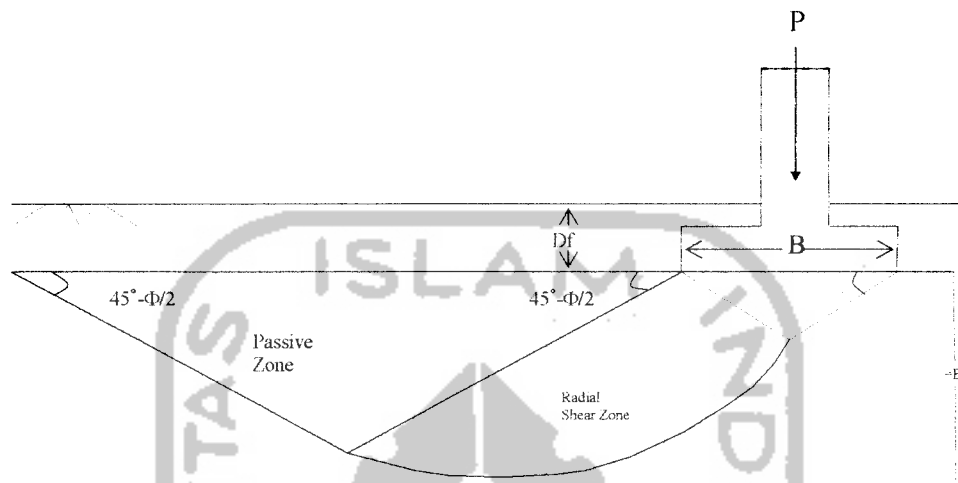
Perbandingan nilai kohesi pada pengujian Tekan Bebas dengan bahan campuran Soiltac ditampilkan dalam Gambar 5.30.



Gambar 5.30. Grafik hubungan antara kohesi dengan prosentase campuran Soiltac pada uji Tekan Bebas.

5.2. Analisis Kapasitas Dukung Pondasi Dangkal.

Cara keruntuhan Geser Terzaghi : (Sumber: Braja. M. Das, 2, 1994)



Gambar 5.31. Keruntuhan Geser Terzaghi

Anggapan :

- $Df \leq B$
- Dasar pondasi kasar
- Keruntuhan Geser umum

Penggunaan parameter geser tanah dalam perhitungan daya dukung tanah lempung digunakan hasil Uji Triaksial untuk konstruksi pondasi dan tanggul, sedangkan hasil uji Tekan Bebas untuk konstruksi jalan dan jembatan.

Dengan nilai sudut geser dalam tanah (Φ) dan kohesi tanah (c) yang telah didapatkan, maka dapat diperoleh nilai daya dukung ultimit tanah (σ_{ult}) berdasarkan rumus Terzaghi (2.16) dan (2.18), sedangkan untuk mendapatkan nilai daya dukung izin tanah (σ_{izin}) digunakan rumus (2.17) dengan SF = 3.

Nilai Φ diinterpolasikan dalam Tabel 5.26 untuk mendapatkan nilai N_c , N_q dan N_γ . Untuk parameter pondasinya digunakan bentuk pondasi bujur sangkar yang mempunyai $\alpha = 1.3$ dan $\beta = 0.4$ dengan $B = 1\text{ m}$ dan $D_f = 1\text{ m}$.

Tabel 5.13 Nilai-nilai faktor daya dukung tanah Terzaghi (Sumber : Hc. Hardiyatmo, 1994)

| Φ° | Keruntuhan Geser Menyeluruh | | | Keruntuhan Geser lokal | | |
|--------------|--------------------------------|-------|------------|------------------------|--------|-------------|
| | N_c | N_q | N_γ | N_c' | N_q' | N_γ' |
| 0 | 5.7 | 1 | 0 | 5.7 | 1.0 | 0 |
| 5 | 7.7 | 1.6 | 0.5 | 6.7 | 1.4 | 0.2 |
| 10 | 9.6 | 2.7 | 1.2 | 8.0 | 1.9 | 0.5 |
| 15 | 12.9 | 4.4 | 2.5 | 9.7 | 2.7 | 0.9 |
| 20 | 17.7 | 7.4 | 5.0 | 11.8 | 3.9 | 1.7 |
| 25 | 25.1 | 12.7 | 9.7 | 14.8 | 5.6 | 3.2 |
| 30 | 37.2 | 22.5 | 19.7 | 19.0 | 8.3 | 5.7 |
| 34 | 52.6 | 36.5 | 35.0 | 23.7 | 11.7 | 9.0 |
| 35 | 57.8 | 41.4 | 424 | 25.2 | 12.6 | 10.1 |
| 40 | 95.7 | 81.3 | 100.4 | 34.9 | 20.5 | 18.8 |
| 45 | 172.3 | 173.3 | 297.5 | 51.2 | 35.1 | 37.7 |
| 48 | 258.3 | 287.9 | 780.1 | 66.8 | 50.5 | 60.4 |
| 50 | 347.6 | 415.1 | 1153.2 | 81.3 | 65.6 | 87.1 |

Tabel 5.14 Koefisien α dan β (Sumber : K.B. Suryotelono, 1992)

| Bentuk Pondasi | α | β |
|----------------|----------|----------------------------------|
| Menerus | 1.0 | 0.5 |
| Segi empat | 1.3 | 0.4 |
| Lingkaran | 1.3 | 0.3 dengan $B = \text{diameter}$ |

Tabel 5.15 Analisis Interpolasi linier faktor daya dukung tanah untuk $\Phi = 28.632^\circ$

| Φ | N_c | N_q | N_γ |
|---------|--------|--------|------------|
| 28° | 25.80 | 14.72 | 16.72 |
| 29° | 27.86 | 16.44 | 19.34 |
| 28.632° | 27.101 | 15.807 | 18.376 |

$$N_c = (((27.86-25.8)/(29-28)) \times (28.632-28)) + 25.80 = 27.10192$$

5.2.1 Tanah Asli

1. Berdasarkan pengujian Triaksial

Pondasi berbentuk bujur sangkar dengan :

$$Df = 100 \text{ cm}$$

$$B = 100 \text{ cm}$$

Sampel tanah asli pengujian Triaksial :

$$\gamma_b = 0.001567 \text{ kg/cm}^3$$

$$c = 0.147 \text{ kg/cm}^2$$

$$\Phi = 2.634^\circ$$

Dari Tabel 5.13 dengan cara interpolasi didapat harga :

$$N_c = 6.754, N_q = 1.316, N_\gamma = 0.263$$

$$q_u = 1.3 \cdot c \cdot N_c + \gamma_b \cdot Df \cdot N_q + 0.4 \cdot \gamma_b \cdot B \cdot N_\gamma$$

$$= 1.3 \cdot 0.147 \cdot 6.754 + 0.001567 \cdot 100 \cdot 1.316 + 0.4 \cdot 0.001567 \cdot 100 \cdot 0.263$$

$$= 1.51339 \text{ kg/cm}^2$$

$$q_a = \sigma_{ijin} = \frac{q_u}{SF} = 1.51339 / 3 = 0.50446 \text{ kg/cm}^2$$

2. Berdasarkan pengujian Tekan Bebas

Pondasi berbentuk bujur sangkar dengan :

$$D_f = 100 \text{ cm}$$

$$B = 100 \text{ cm}$$

Sampel tanah asli pengujian Triaksial :

$$\gamma_b = 0.001567 \text{ kg/cm}^3$$

$$c = 0.137 \text{ kg/cm}^2$$

$$\Phi = 8^\circ$$

Dari tabel 5.13 dengan cara interpolasi didapat harga :

$$N_c = 8.840$$

$$N_q = 2.260$$

$$N\gamma = 0.920$$

$$\begin{aligned} q_u &= 1.3 \cdot c \cdot N_c + \gamma_b \cdot D_f \cdot N_q + 0.4 \cdot \gamma_b \cdot B \cdot N\gamma \\ &= 1.3 \cdot 0.137 \cdot 8.840 + 0.001567 \cdot 100 \cdot 2.260 + 0.4 \cdot 0.001567 \cdot 100 \cdot 0.920 \\ &= 1.98621 \text{ kg/cm}^2 \end{aligned}$$

$$q_a = \sigma_{ijin} = \frac{q_u}{SF} = 1.98621 / 3 = 0.66207 \text{ kg/cm}^2$$

5.2.2 Tanah asli ($w = 16.30 \%$) + Gipsum

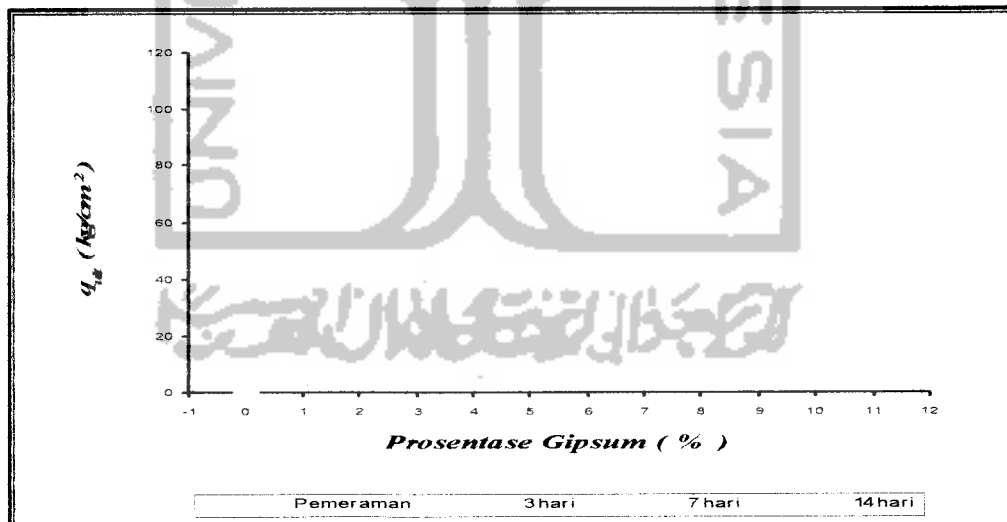
1. Berdasarkan Pengujian Triaksial

Hasil perhitungan daya dukung tanah dengan pencampuran Gipsum berdasarkan Pengujian Triaksial ditampilkan dalam Tabel 5.16

Tabel 5.16. Hasil perhitungan daya dukung tanah berdasarkan pengujian Triaksial

| Pencampuran Gipsum (%) | Hari | γ_b (gr/cm ³) | Φ (°) | C (kg/cm ²) | N _c | N _q | N _y | q _{ult} (kg/cm ²) |
|------------------------|------|----------------------------------|------------|-------------------------|----------------|----------------|----------------|--|
| 3 | 3 | 0.001567 | 5.170 | 0.456 | 7.765 | 1.637 | 4.585 | 5.14698 |
| | 7 | 0.001567 | 9.462 | 0.700 | 9.396 | 2.582 | 1.125 | 9.02547 |
| | 14 | 0.001567 | 14.104 | 1.258 | 12.309 | 4.095 | 2.267 | 20.91392 |
| 5 | 3 | 0.001567 | 12.851 | 0.643 | 11.482 | 3.669 | 1.941 | 10.29440 |
| | 7 | 0.001567 | 14.006 | 0.742 | 12.244 | 4.062 | 2.242 | 12.58761 |
| | 14 | 0.001567 | 16.928 | 1.383 | 14.751 | 5.557 | 3.464 | 27.60873 |
| 7 | 3 | 0.001567 | 14.574 | 0.890 | 12.619 | 4.255 | 2.389 | 15.41668 |
| | 7 | 0.001567 | 15.110 | 1.360 | 13.006 | 4.466 | 2.555 | 23.85458 |
| | 14 | 0.001567 | 18.122 | 1.964 | 15.897 | 6.273 | 4.061 | 41.82574 |
| 9 | 3 | 0.001567 | 16.172 | 1.320 | 14.025 | 5.103 | 3.086 | 25.05997 |
| | 7 | 0.001567 | 18.778 | 1.570 | 16.527 | 6.667 | 4.389 | 35.05143 |
| | 14 | 0.001567 | 23.589 | 2.198 | 23.012 | 11.204 | 8.374 | 68.03504 |
| 11 | 3 | 0.001567 | 18.435 | 1.600 | 16.198 | 6.461 | 4.218 | 34.96866 |
| | 7 | 0.001567 | 20.405 | 1.910 | 18.299 | 7.829 | 5.381 | 47.00050 |
| | 14 | 0.001567 | 27.172 | 2.424 | 30.356 | 16.957 | 14.044 | 99.19604 |

Hasil lengkap perhitungan daya dukung tanah ditampilkan dalam Gambar 5.32.



Gambar 5.32. Grafik hubungan antara q_u dengan prosentase campuran Gipsum pada uji Triaksial.

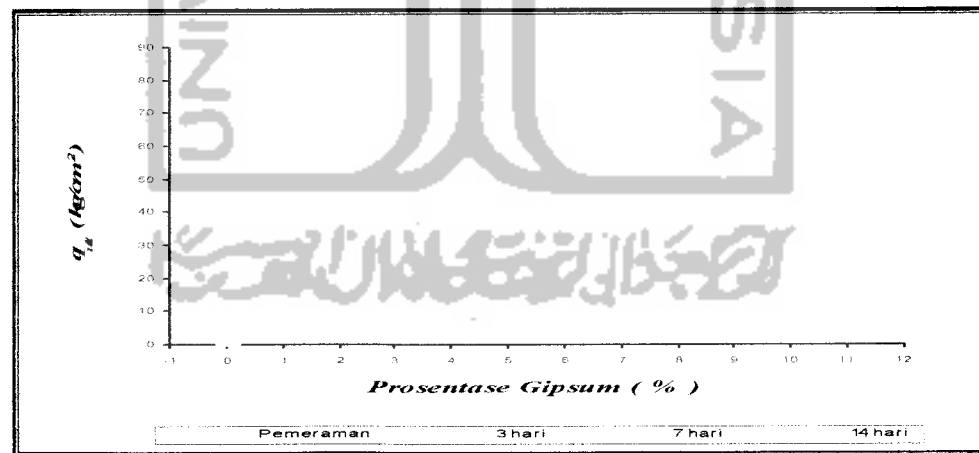
2. Berdasarkan pengujian Tekan Bebas

Hasil perhitungan daya dukung tanah dengan pencampuran Gipsum berdasarkan pengujian Tekan Bebas ditampilkan dalam Tabel 5.17

Tabel 5.17. Hasil Perhitungan daya dukung tanah berdasarkan pengujian Tekan Bebas

| Pencampuran Gipsum (%) | Hari | γ_b (gr/cm ³) | Φ (°) | C (kg/cm ²) | N _c | N _q | N _y | q _{ult} (kg/cm ²) |
|------------------------|------|----------------------------------|------------|-------------------------|----------------|----------------|----------------|--|
| 3 | 3 | 0.001567 | 10.0 | 0.276 | 9.6 | 2.7 | 1.2 | 3.94279 |
| | 7 | 0.001567 | 16.0 | 0.391 | 13.860 | 5.000 | 3.000 | 8.01658 |
| | 14 | 0.001567 | 20.0 | 0.477 | 17.7 | 7.4 | 5.0 | 12.44875 |
| 5 | 3 | 0.001567 | 15.0 | 0.403 | 11.482 | 3.669 | 1.941 | 6.71201 |
| | 7 | 0.001567 | 20.0 | 0.536 | 17.7 | 7.4 | 5.0 | 13.80634 |
| | 14 | 0.001567 | 23.0 | 0.761 | 22.140 | 10.580 | 7.820 | 24.05115 |
| 7 | 3 | 0.001567 | 18.0 | 0.653 | 15.780 | 6.200 | 4.000 | 14.61790 |
| | 7 | 0.001567 | 23.0 | 0.750 | 22.140 | 10.580 | 7.820 | 23.73454 |
| | 14 | 0.001567 | 27.0 | 0.831 | 29.940 | 16.620 | 13.700 | 35.80725 |
| 9 | 3 | 0.001567 | 20.0 | 0.747 | 17.7 | 7.4 | 5.0 | 18.66145 |
| | 7 | 0.001567 | 26.0 | 0.932 | 27.520 | 14.660 | 11.700 | 36.37381 |
| | 14 | 0.001567 | 29.0 | 1.097 | 34.780 | 20.540 | 17.700 | 53.92781 |
| 11 | 3 | 0.001567 | 26.0 | 0.953 | 27.520 | 14.660 | 11.700 | 37.12511 |
| | 7 | 0.001567 | 29.0 | 1.000 | 34.780 | 20.540 | 17.700 | 49.54205 |
| | 14 | 0.001567 | 32.0 | 1.256 | 44.900 | 29.500 | 27.350 | 79.64967 |

Hasil lengkap perhitungan daya dukung tanah ditampilkan dalam Gambar 5.33.



Gambar 5.33. Grafik hubungan antara q_u dengan prosentase campuran Gipsum pada uji Tekan Bebas.

5.3. Tanah asli ($w = 16.30 \%$) + Soiltac

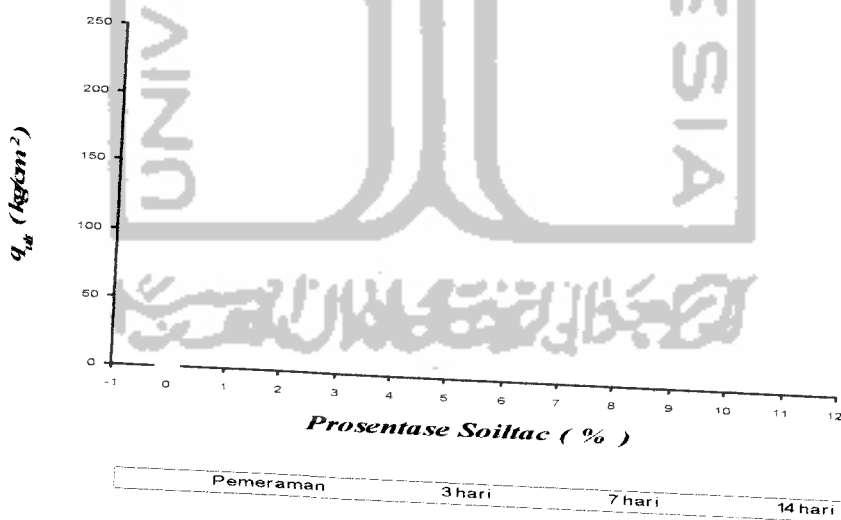
1. Berdasarkan pengujian Triaksial

Hasil perhitungan daya dukung tanah dengan penambahan Soiltac berdasarkan pengujian Triaksial ditampilkan dalam Tabel 5.18

Tabel 5.18. Hasil Perhitungan daya dukung tanah berdasarkan pengujian Triaksial

| Pencampuran Soiltac (%) | Hari | γ_b (gr/cm ³) | Φ (°) | C (kg/cm ²) | N _c | N _q | N _y | Q _{ult} (kg/cm ²) |
|-------------------------|------|----------------------------------|------------|-------------------------|----------------|----------------|----------------|--|
| 3 | 3 | 0.001567 | 13.273 | 1.074 | 11.760 | 3.813 | 2.051 | 17.14559 |
| | 7 | 0.001567 | 22.443 | 1.348 | 21.316 | 9.990 | 7.296 | 39.37623 |
| | 14 | 0.001567 | 23.749 | 1.720 | 23.249 | 11.374 | 8.524 | 54.30028 |
| 5 | 3 | 0.001567 | 18.122 | 1.241 | 15.897 | 6.273 | 4.061 | 26.88438 |
| | 7 | 0.001567 | 23.697 | 1.502 | 23.172 | 11.319 | 8.475 | 47.54967 |
| | 14 | 0.001567 | 25.885 | 2.240 | 27.242 | 14.435 | 11.470 | 82.30867 |
| 7 | 3 | 0.001567 | 20.754 | 1.534 | 18.816 | 8.199 | 5.709 | 39.16535 |
| | 7 | 0.001567 | 25.346 | 1.853 | 25.937 | 13.378 | 10.392 | 65.22814 |
| | 14 | 0.001567 | 27.368 | 2.669 | 30.831 | 17.341 | 14.436 | 110.59502 |
| 9 | 3 | 0.001567 | 21.801 | 1.800 | 20.365 | 9.309 | 6.693 | 49.53347 |
| | 7 | 0.001567 | 26.565 | 2.100 | 28.887 | 15.767 | 12.830 | 82.13726 |
| | 14 | 0.001567 | 29.686 | 2.937 | 36.440 | 21.885 | 19.072 | 143.75677 |
| 11 | 3 | 0.001567 | 25.641 | 1.900 | 26.651 | 13.956 | 10.982 | 68.70383 |
| | 7 | 0.001567 | 27.785 | 2.680 | 31.840 | 18.159 | 15.270 | 114.73209 |
| | 14 | 0.001567 | 31.994 | 3.347 | 44.877 | 29.479 | 27.327 | 201.59610 |

Hasil lengkap perhitungan daya dukung tanah ditampilkan dalam gambar 5.34



Gambar 5.34. Grafik hubungan antara Q_u dengan prosentase campuran Soiltac pada uji Triaksial.

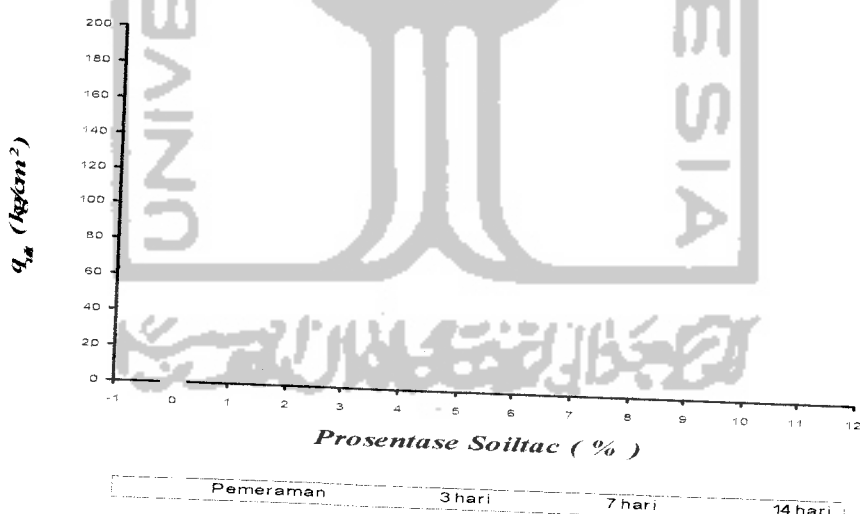
2. Berdasarkan pengujian Tekan Bebas

Hasil perhitungan daya dukung tanah dengan penambahan Soiltac berdasarkan pengujian Tekan Bebas ditampilkan dalam Tabel 5.19

Tabel 5.19. Hasil Perhitungan daya dukung tanah berdasarkan pengujian Tekan Bebas

| Pencampuran Soiltac (%) | Hari | γ_b (gr/cm ³) | Φ (°) | c (kg/cm ²) | N _c | N _a | N _y | q _{ult} (kg/cm ²) |
|-------------------------|------|----------------------------------|------------|-------------------------|----------------|----------------|----------------|--|
| 3 | 3 | 0.001567 | 18.00 | 0.655 | 15.780 | 6.200 | 4.000 | 14.65893 |
| | 7 | 0.001567 | 26.00 | 0.738 | 27.520 | 14.660 | 11.700 | 29.43327 |
| | 14 | 0.001567 | 30.00 | 0.819 | 37.2 | 22.5 | 19.7 | 44.36739 |
| 5 | 3 | 0.001567 | 22.00 | 0.868 | 20.660 | 9.520 | 6.880 | 25.23577 |
| | 7 | 0.001567 | 28.00 | 0.841 | 32.360 | 18.580 | 15.700 | 39.27475 |
| | 14 | 0.001567 | 32.00 | 1.033 | 44.900 | 29.500 | 27.350 | 66.63316 |
| 7 | 3 | 0.001567 | 24.00 | 1.138 | 23.620 | 11.640 | 8.760 | 37.31649 |
| | 7 | 0.001567 | 30.00 | 1.054 | 37.2 | 22.5 | 19.7 | 55.73199 |
| | 14 | 0.001567 | 33.00 | 1.193 | 48.750 | 33.000 | 2.175 | 80.91380 |
| 9 | 3 | 0.001567 | 28.00 | 1.280 | 32.360 | 18.580 | 1.980 | 56.88263 |
| | 7 | 0.001567 | 32.00 | 1.211 | 44.900 | 29.500 | 1.850 | 75.42468 |
| | 14 | 0.001567 | 36.00 | 1.406 | 65.380 | 49.380 | 54.0 | 130.62413 |
| 11 | 3 | 0.001567 | 31.00 | 1.378 | 41.050 | 26.000 | 1.525 | 77.70676 |
| | 7 | 0.001567 | 33.00 | 1.428 | 48.750 | 33.000 | 2.175 | 95.80693 |
| | 14 | 0.001567 | 38.00 | 1.563 | 80.540 | 65.340 | 77.2 | 178.72690 |

Hasil lengkap perhitungan daya dukung tanah ditampilkan dalam Gambar 5.35



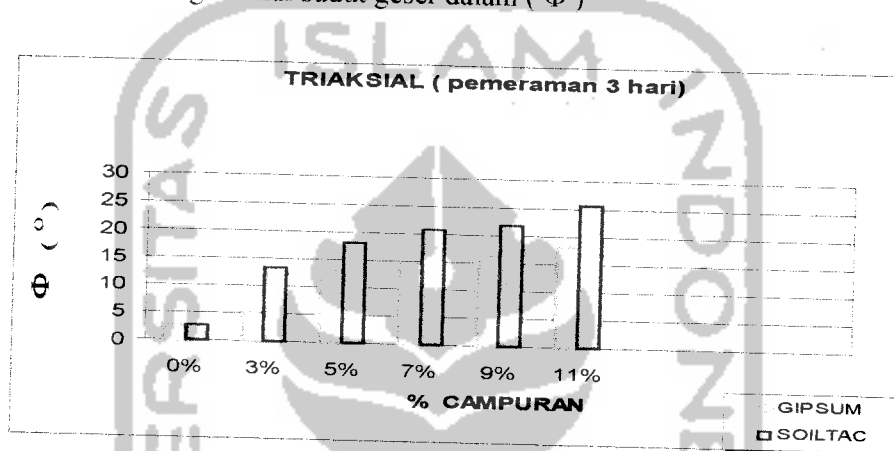
Gambar 5.35. Grafik hubungan antara q_u dengan prosentase campuran Soiltac pada uji Tekan Bebas

5.3 Perbandingan Bahan Stabilisasi Gipsum dan Soiltac

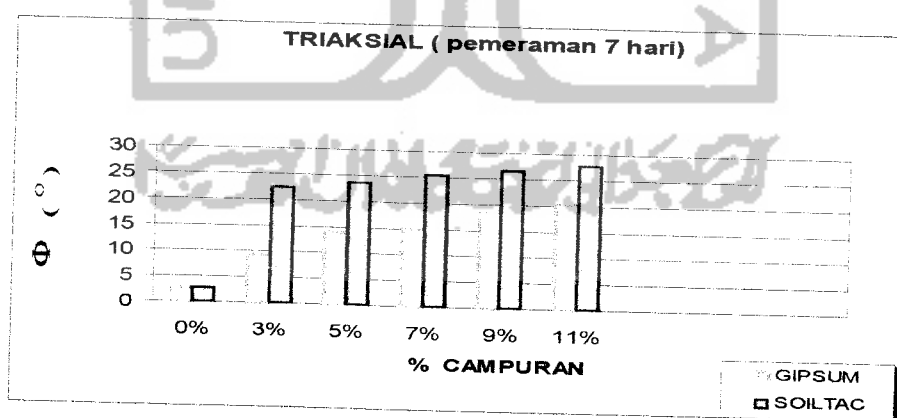
Dari hasil penelitian bahan stabilisasi Gipsum dan Soiltac, maka dapat dibuat perbandingan antara kedua bahan stabilisasi tersebut. Untuk hasil lengkap dari perbandingan kedua bahan stabilisasi tersebut ditampilkan dalam bentuk grafik berikut ini :

5.3.1. Berdasarkan pengujian Triaksial

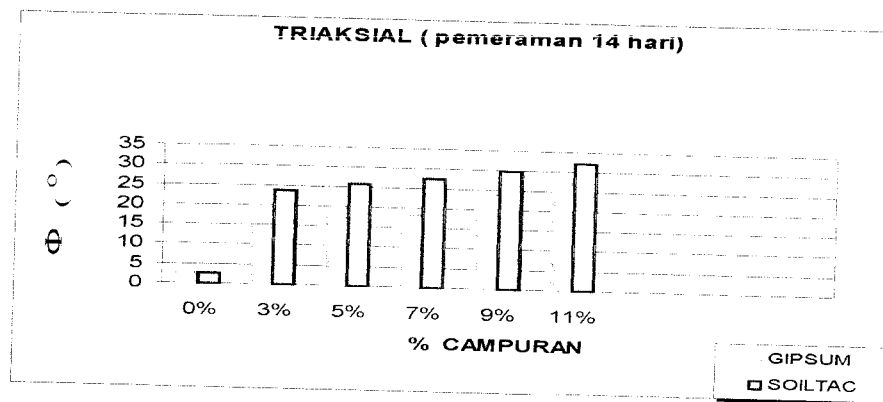
- Perbandingan nilai sudut geser dalam (Φ)



Gambar 5.36. Grafik perbandingan nilai (Φ) pemeraman 3 hari

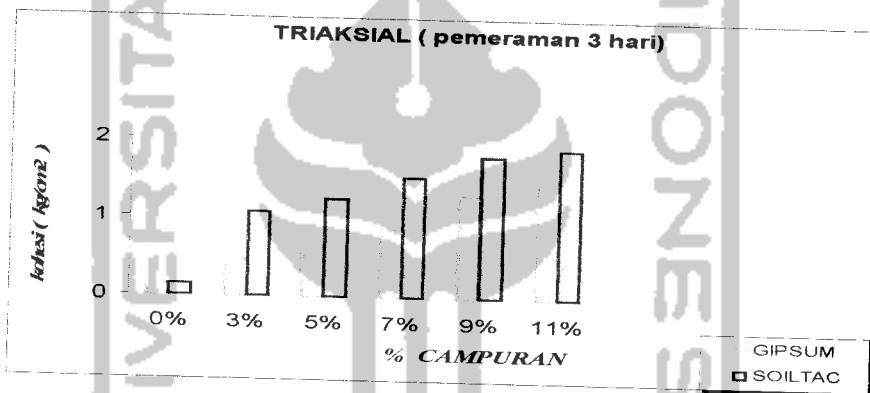


Gambar 5.37. Grafik perbandingan nilai (Φ) pemeraman 7 hari

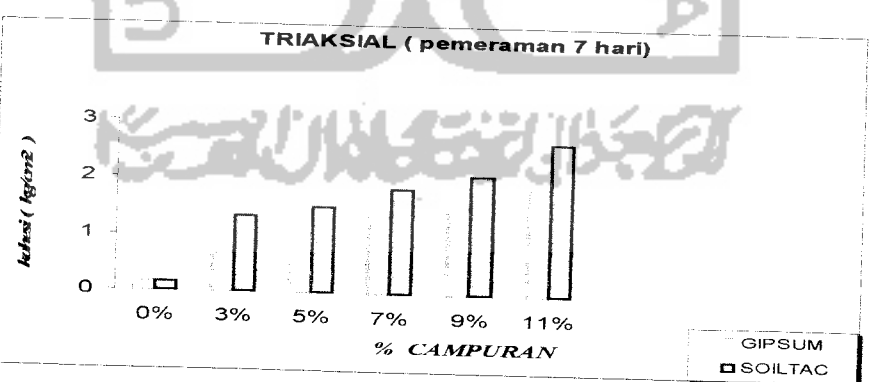


Gambar 5.38. Grafik perbandingan nilai (Φ) pemeraman 14 hari

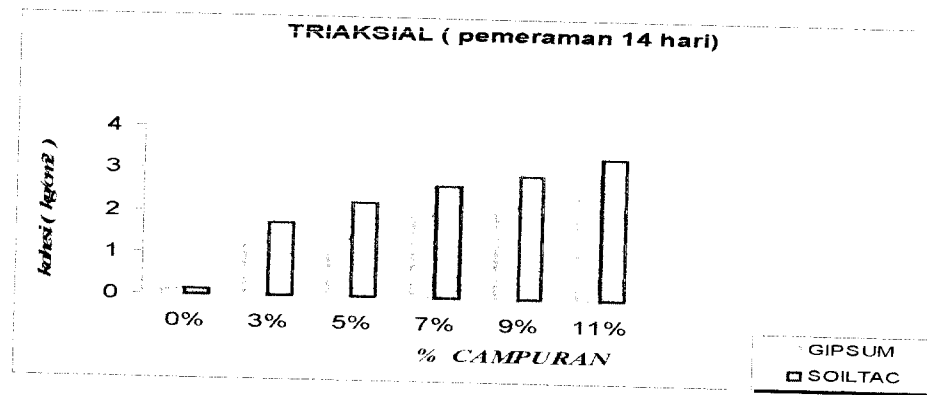
b. Perbandingan nilai kohesi (c)



Gambar 5.39. Grafik perbandingan nilai kohesi (c) pemeraman 3 hari

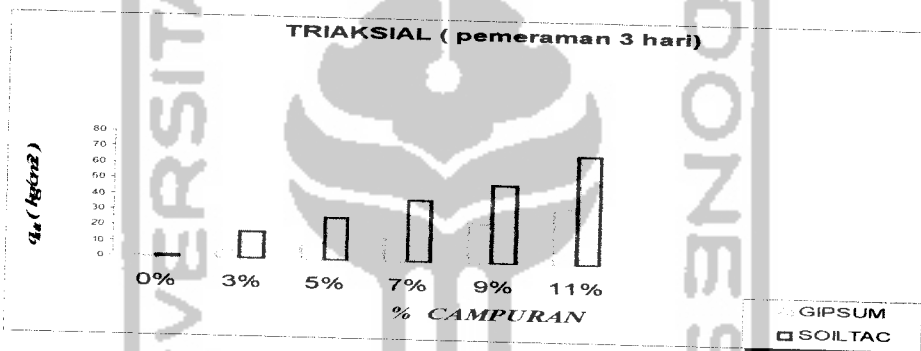


Gambar 5.40. Grafik perbandingan nilai kohesi (c) pemeraman 7 hari

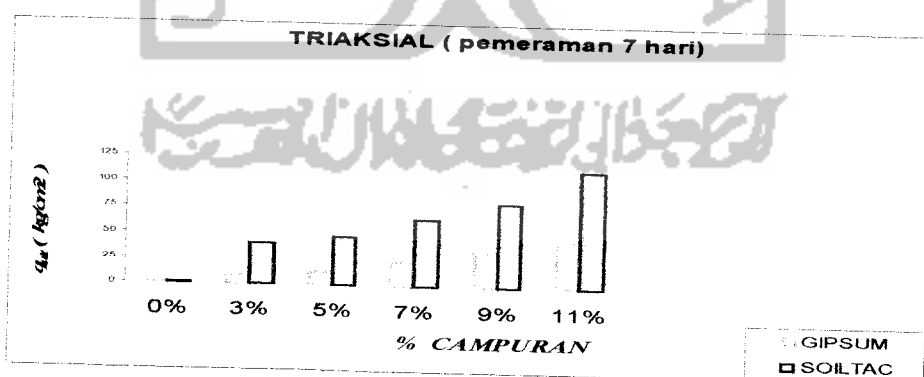


Gambar 5.41. Grafik perbandingan nilai kohesi (c) pemeraman 14 hari

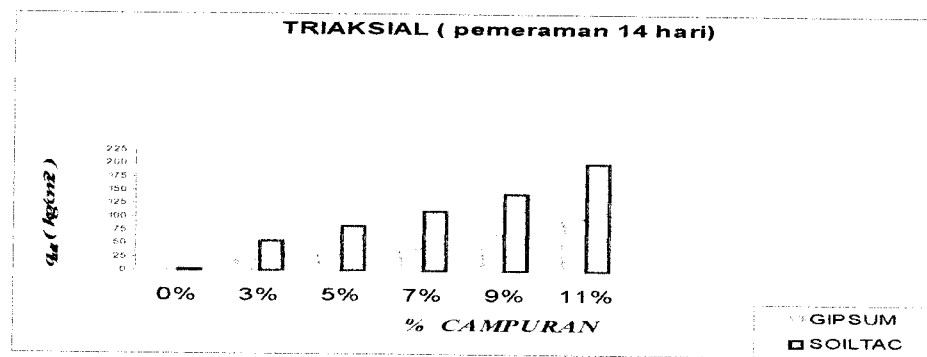
c. Perbandingan nilai daya dukung (q_u)



Gambar 5.42. Grafik perbandingan nilai daya dukung (q_u) pemeraman 3 hari



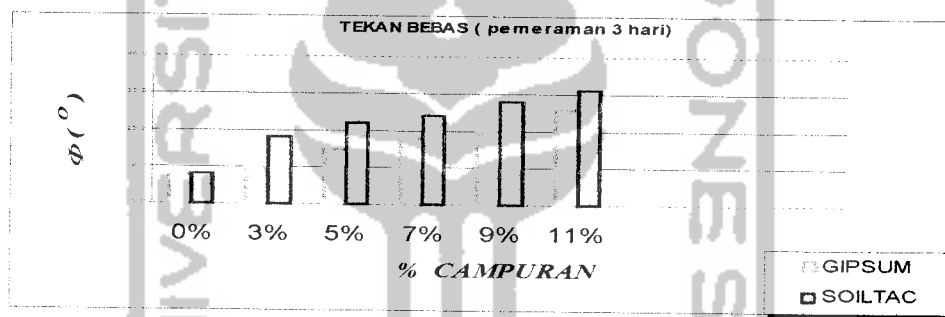
Gambar 5.43. Grafik perbandingan nilai daya dukung (q_u) pemeraman 7 hari



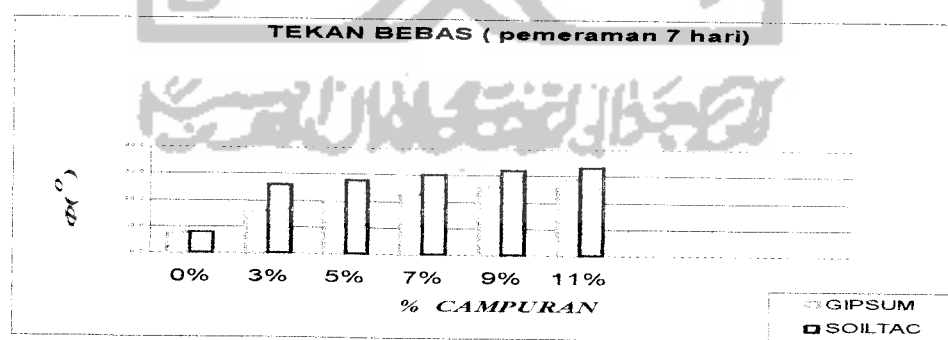
Gambar 5.44. Grafik perbandingan nilai daya dukung (q_u) pemeraman 14 hari

5.3.2. Berdasarkan pengujian Tekan Bebas

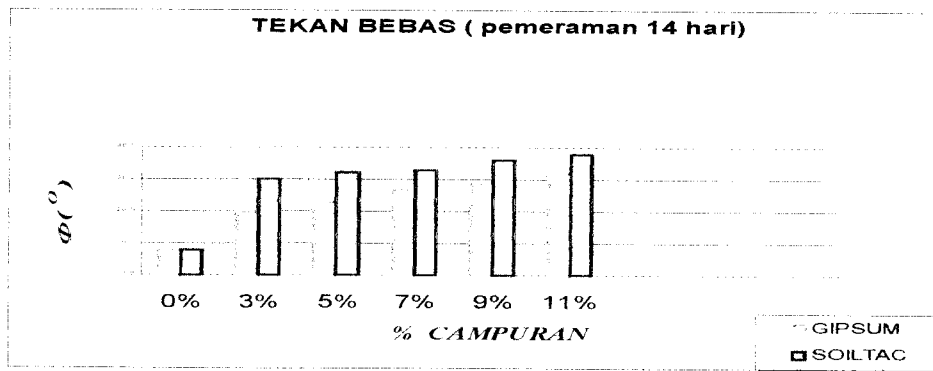
a. Perbandingan nilai sudut geser dalam (Φ)



Gambar 5.45. Grafik perbandingan nilai (Φ) pemeraman 3 hari



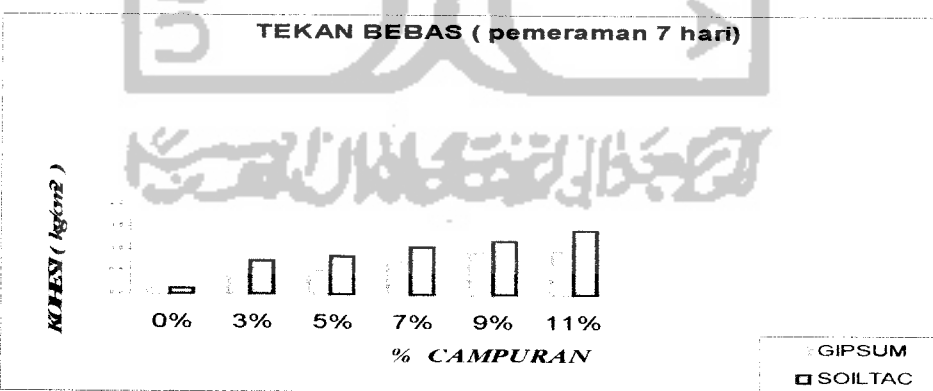
Gambar 5.46. Grafik perbandingan nilai (Φ) pemeraman 7 hari



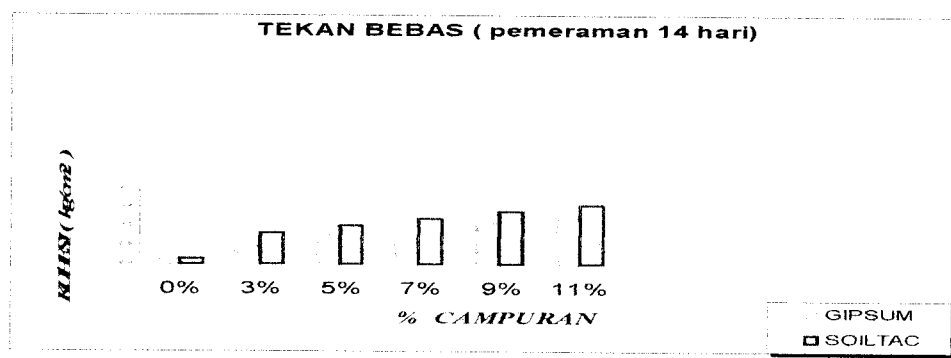
Gambar 5.47. Grafik perbandingan nilai (Φ) pemeraman 14 hari



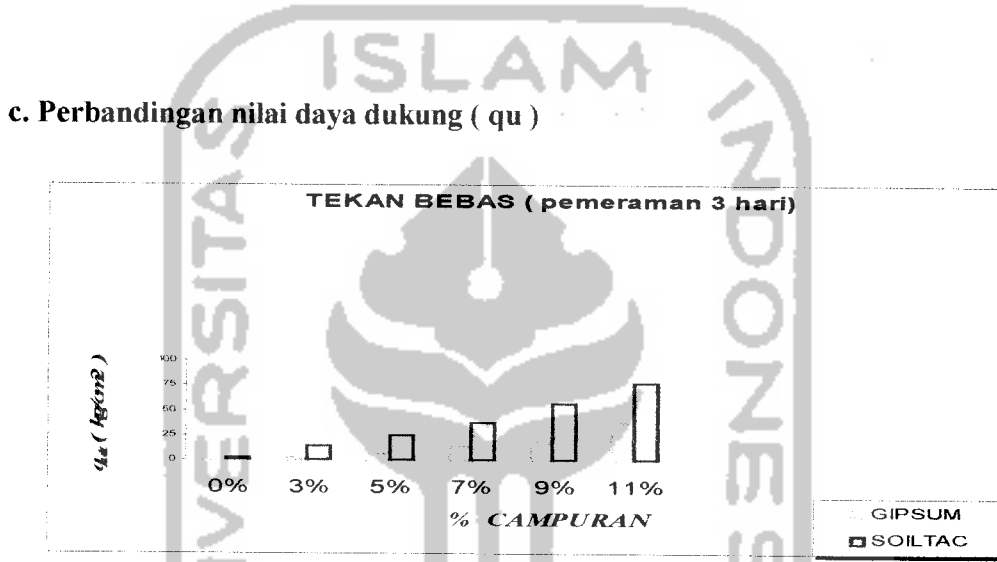
Gambar 5.48. Grafik perbandingan nilai kohesi (c) pemeraman 3 hari



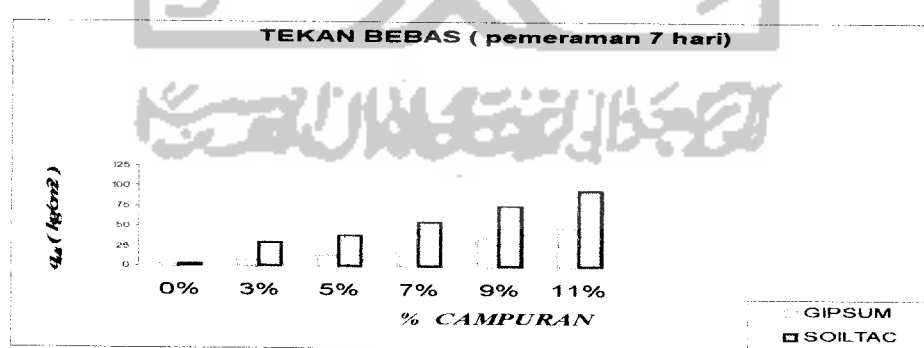
Gambar 5.49. Grafik perbandingan nilai kohesi (c) pemeraman 7 hari



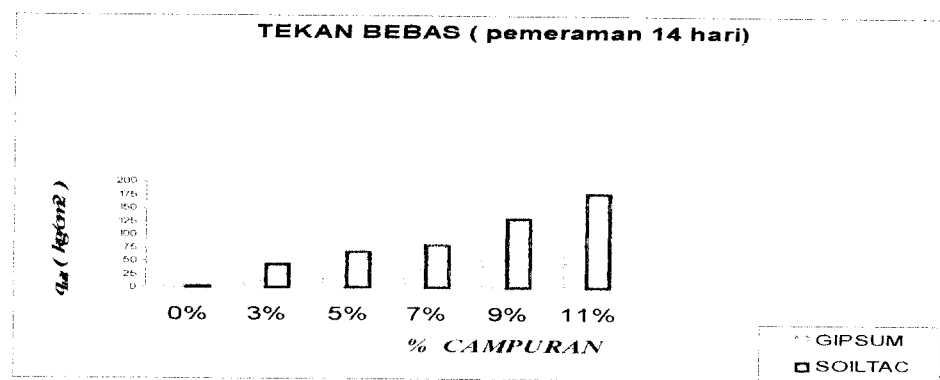
Gambar 5.50. Grafik perbandingan nilai kohesi (c) pemeraman 14 hari



Gambar 5.51. Grafik perbandingan nilai daya dukung (q_u) pemeraman 3 hari



Gambar 5.52. Grafik perbandingan nilai daya dukung (q_u) pemeraman 7 hari



Gambar 5.53. Grafik perbandingan nilai daya dukung (q_u) pemeraman 14 hari

5.4 Faktor Ketelitian Hasil Pengujian

Dari pengujian dilaboratorium terhadap sifat fisik dan mekanik, terdapat penyimpangan hasil atau kesalahan dalam pelaksanaan pengujian. Untuk mengetahui faktor kesalahan dan ketelitian perlu diadakan pengujian yang berulang pada jenis sampel yang sama. Dalam pengujian dilaboratorium kami menggunakan 2 sampel pada pengujian Hidrometer, 3 sampel pada pengujian berat jenis, 1 sampel pada pengujian pemasatan untuk setiap penambahan air, 1 sampel pada pengujian Tekan Bebas untuk masing-masing kondisi tanah dan 3 sampel pada pengujian Triaksial untuk masing-masing kondisi tanah dengan tekanan sel 0.5 (kg/cm^2), tekanan sel 1.0 (kg/cm^2) dan tekanan sel 2.0 (kg/cm^2).

Pada pencetakan sampel menggunakan cetakan belah, supaya sampel mudah dikeluarkan dari cetakan. Agar sampel yang telah dipersiapkan dapat masuk secara keseluruhan kedalam cetakan, tanah dimasukkan sedikit demi sedikit kemudian dipadatkan dengan besi.